

10 de octubre de 2025
Archivo No. 01204123.21-13

Sr. Baitong Chen
Distrito de Gestión de la Calidad del Aire de la Costa Sur
21865 Copley Drive
Diamond Bar, California 91765

Asunto: Determinación del Comité de Reacción Mensual sobre los Límites del Área de Reacción del Vertedero de Chiquita Canyon - Castaic, California

Estimado Sr. Chen:

Conforme a las Condiciones No. 9a y 9b de la Orden de Depuración Estipulada Modificada (SOFA) en relación al Vertedero de Chiquita Canyon (el Vertedero o el Centro) (Caso No. 6177-4), el Comité de Reacción revisó los nuevos datos adquiridos aplicables registrados durante el mes de septiembre de 2025, consideró las revisiones del alcance estimado de las condiciones del vertedero de temperaturas elevadas (ETLF) en el Centro de referencia (denominados límites del "Área de Reacción") y ha elaborado esta determinación sobre potencialmente revisar el mapa del Área de Reacción.

El Adjunto A presenta el Plano con el título "Mapa del Área de Reacción", preparado por SCS Engineers (SCS) con fecha 1 de octubre de 2025. El Plano muestra el límite del Área de Reacción como se indica en la Condición No. 9a que corresponde a los límites de las Celdas 1/2A, 2B/3, 4 y al Módulo 2B/3/4 P2 como línea negra sólida. El Plano también muestra el alcance estimado de las condiciones de ETLF experimentadas en el sitio en base a la revisión de los datos científicos del Comité de Reacción como línea de puntos magenta. El fundamento que sirve como base para considerar ajustes y modificaciones en el límite del Área de Reacción (o la determinación de mantener el límite decretado) incluye lo siguiente:

- Temperaturas del cabezal del pozo de Biogás (LFG) que exceden aproximadamente los 160 grados Fahrenheit.
- Mala calidad del gas (definido como niveles de metano inferiores al 30 por ciento) junto con proporciones de metano-dióxido de carbono (CH₄:CO₂) inferiores a 1.0.
- La concentración de hidrógeno (H₂) en el LFG que mide más del 2 por ciento por volumen.
- La concentración de monóxido de carbono (CO) en el LFG que mide más del 2,000 ppm.
- Asentamiento acelerado de la superficie del vertedero, definida como aproximadamente 18 pulgadas o más dentro de un período de 60 días y grietas en la cubierta del vertedero. Esto corresponde a un índice de un valor de tensión (es decir, un índice de asentamiento) del 3 por ciento por año para zonas con profundidad de columnas de desechos de 300 pies, que creemos que es una profundidad promedio razonable en el tema de interés.
- Observaciones de primera mano del Vertedero y/o del personal de campo de ingeniería, construcción y operaciones y mantenimiento (O&M) de SCS que está en el sitio. 1) cantidades excesivas atípicas de lixiviados (presencia y cantidad de líquidos); 2) instancias de líquidos presurizados que salen de la superficie del vertedero, desde los pozos durante las perforaciones y desde los pozos de LFG; y 3) las



características de los olores que se originan en las áreas seleccionadas de la huella de desechos (generalmente descritas como "similares a productos químicos" y distintivamente diferentes del LFG típico u olores en el trabajo del vertedero)

- Observaciones de condiciones y características de los desechos de la subsuperficie como se indica en los registros de perforación del pozo para nuevos pozos y/o sondas, recién instalados.
- Temperaturas de la subsuperficie registradas en las sondas de temperatura de desechos in-situ durante septiembre de 2025.
- Temperatura del gas o de los líquidos medida en profundidad dentro del tubo elevador del pozo de LFG (utilizando un transmisor automatizado o instrumentación de campo manual).
- Temperatura y presiones en la subsuperficie asociadas a las actividades de perforaciones para los nuevos pozos de extracción de gas durante septiembre de 2025.

CONSIDERACIONES DE POTENCIALES AJUSTES AL ALCANCE ESTIMADO DE LAS CONDICIONES DLE ETLF (LÍNEA DE PUNTOS MAGENTA)

Al realizar sus determinaciones mensuales, el Comité de la Reacción evalúa los parámetros del set de datos arriba indicados, junto con otro más, para identificar tendencias significativas que indiquen condiciones de ETLF, en lugar de fluctuaciones exhibidas en puntos de datos aislados.

Cada mes, el Comité de la Reacción examina áreas particulares del Vertedero que previamente exhibieron datos anormales o fluctuantes, cuando aplica. Como se trata a continuación, a pesar de varianzas menores en áreas discretas del vertedero, el Comité de la Reacción no ha discernido ninguna tendencia significativa con respecto a los datos de septiembre de 2025 que indiquen que la reacción se ha expandido a estas áreas.

Cerca de CV-24009

El pozo CV-24009 está posicionado dentro de los 60 pies, aproximadamente de la línea limítrofe delineada. Este pozo registró una temperatura máxima de cabezal de pozo de LFG de 161 grados F durante septiembre, pero las temperaturas promedio de los cabezales de pozos de LFG medidas durante julio a septiembre en este pozo fueron de 156 grados F.

La calidad del LFG es marginal en CV-24009, que exhibió una concentración de metano (CH_4) promedio de un 18 por ciento desde julio hasta septiembre y la relación de metano a dióxido de carbono ($\text{CH}_4:\text{CO}_2$) en septiembre fue de 0.18. La concentración de hidrógeno (H_2) medida en septiembre fue de un 7.5 por ciento.

El Comité de la Reacción ha identificado movimiento de gases desde adentro de la Zona Reactiva a través de colectores horizontales como la potencial causa del calor y la tendencia a largo plazo del gas de calidad marginal a mala en estos pozos. Específicamente, el pozo CV-24009 está posicionado inmediatamente contiguo a H-1769 (a una elevación de 1335 pies), que se extiende cientos de pies en la Zona Reactiva, por lo tanto es posible que la fuente de calor y el gas de la reacción en este pozo vertical se compensen a una distancia y se esté transportando hacia los pozos por la tubería de los colectores horizontales y la zanja. Además, CV-24009 cuenta con una bomba de desagote específica, por lo tanto el reciente aumento en las temperaturas y la presencia de mayor gas de la reacción (a diferencia del biogás típico) podrá

atribuirse a la reducción de los niveles de lixiviados colocados en esta cercanía, que permite el movimiento de calor y gas por los espacios vacíos.

Cerca de CV-113

El pozo CV-113 está posicionado aproximadamente a 300 pies pasando el límite delineado. Este pozo ha experimentado aumentos de temperatura desde julio y registró una temperatura máxima del cabezal del pozo de LFG de 178 grados F durante septiembre.

La calidad del LFG es mala en CV-113, que exhibió una concentración de CH₄ promedio del 2 por ciento durante julio a septiembre y la relación de CH₄:CO₂ en septiembre fue de 0.01. La concentración de H₂ medida en septiembre fue de un 6.7 por ciento.

Este pozo no parece estar cerca de ningún colector horizontal que se extienda fuera de la Zona Reactiva y el pozo no cuenta con una bomba. Sin embargo, los pozos de LFG de los alrededores exhiben temperaturas sustancialmente más bajas y una composición de LFG más típica y el pozo CV-113 exhibió temperaturas significativamente más bajas antes de agosto. Por consiguiente, el Comité de la Reacción continúa monitoreando las condiciones en este pozo.

Cerca de CV-2333 y CV-24126

El pozo CV-2333 está colocado dentro de los 50 pies aproximadamente del límite delineado, y el pozo está ubicado con la sonda de temperatura TP-18. El pozo CV-24126 está posicionado dentro de los 100 pies, aproximadamente del límite delineado. El pozo CV-24126 registró una temperatura de cabezal de pozo de LFG máxima de 186 grados F durante septiembre, pero la temperatura del cabezal del pozo de LFG promedio medida durante julio a septiembre en este pozo fue de 159 grados F. La temperatura promedio del cabezal de pozo de LFG en el pozo contiguo CV-2333 medida de julio a septiembre fue de 135 grados F. La termocupla más profunda en TP-18 está posicionada a 45 pies por debajo de la superficie del vertedero y ha demostrado aumentos de temperatura las últimas seis semanas, indicando más recientemente una temperatura in-situ de los desechos de 162 grados F.

La calidad del LFG es mala en CV-2333, que exhibió una concentración de CH₄ promedio del 2 por ciento durante julio a septiembre. La concentración de H₂ medida en septiembre fue de un 13 por ciento. La calidad del LFG también es mala en CV-24126, que exhibió una concentración de CH₄ promedio del 5 por ciento durante julio a septiembre y la relación de CH₄:CO₂ en septiembre fue de 0.05.

El Comité de la Reacción ha identificado movimiento de gases desde adentro de la Zona Reactiva a través de colectores horizontales como la potencial causa del calor y la tendencia a largo plazo del gas de calidad marginal a mala en estos pozos. Específicamente, el pozo CV-24126 se encuentra ubicado inmediatamente adyacente a H-1772 (a una elevación de 1353 pies) que se extiende al sur a lo largo de la frontera de la Zona Reactiva, por lo tanto es posible que la fuente de calor y el gas de la reacción en este pozo vertical se compense a una distancia y se esté transportando hacia los pozos mediante las tuberías de los colectores horizontales y las zanjas. Además, CV-2433 tiene una bomba de desagote específica (CV-24126 no la tiene) por lo tanto el calor y la presencia de mayor gas de la reacción (a diferencia del biogás típico) tal vez puedan atribuirse a la reducción de los niveles de lixiviados asentados en esta cercanía, que está permitiendo el movimiento de calor y gas por los espacios vacíos.

Cerca de CV-2541

El pozo CV-2541 está posicionado dentro aproximadamente 25 pies de la línea límitrofe delineada. Está posicionado inmediatamente contiguo a los colectores horizontales H-54 (a una elevación de 1225 pies) y al H-1564 (a una elevación de 1245 pies), ambos se extienden cientos de pies hacia la Zona Reactiva. Durante septiembre, el pozo CV-2541 registró una temperatura de cabezal de pozo de LFG máxima de 167 grados F, pero la temperatura promedio durante julio a septiembre fue de solo 151 grados F. La temperatura promedio del cabezal del pozo de LFG medida en el pozo contiguo CV-24068 durante julio a septiembre fue de 142 grados F.

La calidad del LFG es mala en CV-2541, que exhibió una concentración de CH4 promedio del 14 por ciento durante julio a septiembre. La concentración de hidrógeno medida en el pozo CV-2541 en septiembre fue del 5.9 por ciento. La calidad del LFG es marginal en CV-24068, que exhibió una concentración de CH4 promedio del 20 por ciento durante julio a septiembre.

Considerando que las temperaturas más recientes son relativamente bajas para las condiciones del ETLF, además de la proximidad a los colectores horizontales, el Comité de la Reacción no cree que se justifique un ajuste en los límites de la Zona Reactiva que incluya las partes de la huella de desechos que incluye el CV-2541 en este momento.

Cerca de CV-2344

El pozo CV-2344 está posicionado dentro de los 100 pies, aproximadamente del límite delineado. El pozo CV-2344 registró una temperatura del cabezal del pozo de LFG máxima de 161 grados F durante septiembre; pero la temperatura promedio del cabezal de pozo de LFG medida durante julio a septiembre en este pozo fue de 161 grados F. La temperatura máxima de los desechos registrada in-situ en septiembre en TP-05 fue de solo 156 grados F. La calidad del LFG en CV-2344 es mala, con una concentración de CH4 promedio del 14 por ciento durante julio a septiembre y la relación de metano-dióxido de Carbono (CH4:CO2) en septiembre fue de 0.36. La concentración de hidrógeno (H2) medida en septiembre fue de un 6.7 por ciento.

Considerando que las temperaturas en TP-05 y CV-2344 son relativamente bajas para las condiciones del ETLF, además de la proximidad al colector horizontal H-1356 (a una elevación de 1278 pies), el Comité de la Reacción no cree que se justifique un ajuste en los límites de la Zona Reactiva que incluya las partes de la huella de desechos que incluye el CV-2344 en este momento.

DATOS DE LAS SONDAS DE MONITOREO DE TEMPERATURA

El Comité de la Reacción revisó las mediciones de temperatura registradas durante septiembre de 2025 utilizando las sondas de monitoreo de temperatura in-situ. A septiembre de 2025, seis de las 32 sondas (TP-2, TP-3, TP-9, TP-11, TP-15 y TP-21) están dentro del alcance estimado actual de las condiciones del ETLF (línea de puntos magenta) De las 26 sondas restantes colocadas fuera de los límites, doce sondas se encuentran ubicadas dentro de una proximidad relativamente cercana (dentro de los 200 pies) de este límite. La opinión del Comité de la Reacción es que las temperaturas registradas por las 26 sondas fuera del límite durante septiembre de 2025 no son indicios de una reacción de la subsuperficie y no justifica una decisión de ajustar el límite de la Zona Reactiva en este momento.

A continuación se indican varias consideraciones relacionadas con la consistencia y la fiabilidad de los datos:

- TP-08: La termocupla a 150 pies de profundidad en TP-08 exhibió una lectura anómala el 15 de septiembre de 224 grados F en una sola lectura de una hora; sin embargo, las lecturas posteriores fueron en general consistentes con las temperaturas registradas previas y ninguna otra termocupla en TP-08 mostró cambios de temperatura importantes correspondientes, indicando que este aumento registrado de la temperatura muy probablemente fue erróneo. Desde esta instancia, la termocupla a los 150 pies ha registrado periódicamente fluctuaciones de temperatura diarias de 8 a 10 grados, que es algo atípico. Estas fluctuaciones podrían atribuirse a que la sonda estaba co-ubicada con el pozo de extracción de LFG CV-24079, que cuenta con una bomba de desagote operativa.
- TP-35: Todas las termocuplas en TP-35 estuvieron temporalmente fuera de línea el 2 de septiembre para reparar el revestimiento de la termocupla. Como resultado, todas las lecturas máximas de esta fecha son erróneas.

Durante septiembre, la termocupla a 150 pies de profundidad en TP-01 continuó demostrando un aumento gradual en la temperatura que ha estado en curso por varios meses, en los que la temperatura aumentó de aproximadamente 120 grados F, registrada a principios de abril de 2025, a aproximadamente 166 grados F a fines de septiembre. Durante este período de tiempo, las otras termocuplas dentro de TP-01 han registrado temperaturas consistentes semana a semana y no están exhibiendo aumentos de temperatura correspondientes. Además, una revisión de los datos de monitoreo del cabezal del pozo para los pozos posicionados cerca de TP-1 (CV-2326, CV-2335, CV-2336, CV-24006 y CV-24011) no indicaron aumentos correspondientes en la temperatura ni otras características de la reacción. Hay dos colectores horizontales cerca de TP-01, pero no están posicionados en la zona poco profunda de 15 pies. Personal de campo del sitio está investigando la posibilidad de comprobar la validez de los datos y de cambiar la termocupla que está a 15 pies. No obstante, en este momento, y por los motivos arriba descritos, el Comité de la Reacción no cree que este aumento sugiera la presencia de condiciones de ETLF dentro de la masa de desechos en este lugar.

El Comité de la Reacción evaluó las temperaturas máximas durante 30 días registradas en TP-24, TP-26, TP-29, TP-30 y TP-31, que se han mantenido relativamente consistentes durante el período de 6 semanas previo del 21 de agosto al 1 de octubre de 2025 (excepto una fluctuación de corto plazo en el intervalo a los 240 pies en TP-29 por 1 día a mediados de septiembre). El abrupto aumento en la termocupla a los 240 pies en TP-29 de 183 grados F a 193 grados F y después bajando a 184 grados F en un período de 1 días a mediados de septiembre es irregular. La temperatura máxima diaria promedio en esta termocupla durante septiembre es de aproximadamente 184 grados F.

Las temperaturas máximas registradas durante septiembre en las termocuplas más profundas en TP-26 y TP-30 de 175 grados F y 171 grados F, respectivamente, no son significativamente elevadas para las zonas de desechos más profundas y hay una diferenciación importante entre las temperaturas máximas de 30 días en estas cinco sondas, si se las compara con las temperaturas máximas de 30 días medidas en las cuatro sondas dentro de la extensión estimada actual de las condiciones de ETLF (línea de puntos magenta), específicamente TP-3, TP-9, TP-15 y TP-21.

Las temperaturas máximas registradas durante septiembre en las termocuplas más profundas en TP-24 y TP-31 de 192 grados F y 188 grados F, respectivamente, son un poco mayores a intervalos de profundidad similares en las otras 26 sondas fuera de la Zona Reactiva A y el Comité de la Reacción notó que hay menos diferenciación entre las temperaturas máximas en 30 días en estas dos sondas, comparadas con las temperaturas máximas en 30 días medidas en las cuatro sondas dentro de la extensión estimada actual de las condiciones de ETLF (línea de puntos magenta),

específicamente TP-3, TP-9, TP-15 y TP-21. No obstante, los cuatro pozos que están alrededor de TP-24 registraron temperaturas promedio en el cabezal del pozo de LFG durante julio a septiembre que variaban de 101 grados F a 119 grados F y concentraciones de metano promedio de entre un 27 y un 46 por ciento. Los tres pozos que están alrededor de TP-31 registraron temperaturas de cabezal de pozo de LFG promedio durante julio a septiembre que varían de 114 grados F a 137 grados F. Mientras que la concentración de metano promedio en CV-2319 es del 19 por ciento, el contenido de metano promedio en CV-24111 durante los últimos tres meses fue del 42 por ciento. Entonces, los pozos que están alrededor de estas dos sondas no exhiben evidencia de calor atípico o de la composición del LFG asociado a condiciones de ETLF.

Por lo tanto, el Comité de la Reacción no cree que se justifique en este momento un ajuste en el límite de la Zona Reactiva que incluya las partes de la huella de desechos que incluya TP-24, TP-26, TP-29, TP-30 y TP-31.

CONCENTRACIONES DE HIDRÓGENO

El Comité de Reacción también evaluó la concentración de hidrógeno en el LFG durante septiembre de 2025. Recordamos que ciertos pozos posicionados al Sur este del límite de la Zona Reactiva (donde se reactivó la bomba de desagüe) habían demostrado periódicamente algún aumento en el contenido de hidrógeno en el LFG durante la revisión del Comité de Reacción de los datos de los meses anteriores, que fue un caso similar para los datos de septiembre de 2025. El Comité de la Reacción notó en su revisión de los datos que, excepto los pozos CV-113 y CV-2344, estos pozos no exhibieron temperaturas elevadas. No hubo evidencia de mayor calor que es algo típico en condiciones de ETLF en los pozos que exhiben concentraciones de hidrógeno atípicas (excepto los pozos CV-113 y CV-2344). Como se notó previamente, el Comité de la Reacción sospecha que este aumento en el contenido de hidrógeno podría atribuirse a los sustanciales desagües que se están logrando en toda la Zona Reactiva y podría estar asociado al movimiento de gas desde adentro de la Zona Reactiva por los colectores horizontales cercanos existentes. Por lo tanto, la presencia de hidrógeno elevado en estos lugares aislados no sugieren que las condiciones de ETLF se estén expandiendo hacia el sur y hacia el este del límite delineado. Por lo tanto, el Comité de Reacción no cree que se justifique un ajuste en el límite de la Zona Reactiva en este momento.

CONCLUSIÓN

Como se presenta en el Plano incluido como **Adjunto A**, el alcance estimado de las condiciones de ETLF (línea de puntos de color magenta) está completamente contenida dentro del límite del Área de Reacción decretado en la SOFA (línea sólida negra). Como las condiciones del ETLF están completamente contenidas dentro del límite del Área de Reacción y no experimentaron ninguna celda nueva, el Comité de Reacción no encuentra ninguna base para modificar el límite del Área de Reacción como se indica en la Condición 9a, en este momento.

No hubo ninguna opinión disidente entre los miembros del Comité de Reacción sobre esta determinación mensual. Los datos de respaldo se presentan en el Plano incluido como **Adjunto A**. Las mediciones de temperaturas máximas registradas en las 32 sondas de monitoreo de temperatura de los desechos in-situ (tanto valores de 7 Días como de 30 Días) durante septiembre se presentan en el **Adjunto B** en formato gráfico. Las temperaturas de los pozos de LFG registradas en los pozos de extracción para toda la huella del Vertedero se reflejan en el mapa de rango de gradiente isotérmica presentado como **Adjunto C**. Las relaciones de CH₄:CO₂ medidas en los pozos de LFG en las cercanías del límite de la Zona Reactiva dirigido por datos se exhiben en el mapa de rangos presentado como **Adjunto D**. Las concentraciones de H₂ medidas en los pozos de LFG cerca de límite de la Zona Reactiva dirigido por datos se

exhiben en el mapa de rangos como **Adjunto E**. Las concentraciones de CO medidas en los cabezales de pozos de LFG cerca del límite de la Zona Reactiva dirigida por datos se exhiben en el mapa de rangos presentado como **Adjunto F**. Los valores isopáquicos del asentamiento de la superficie del vertedero medidos trimestralmente (2 de julio de 2025 comparados con los del 1 de octubre de 2025) cerca del límite de la Zona Reactiva dirigida por datos se exhiben en el mapa de rangos presentado como **Adjunto G**. La base de datos electrónica y la plataforma de registros permite que estas mediciones puedan descargarse en un formato de hoja de cálculo tabular, que puede ser presentada al Distrito de Gestión de la Calidad del Aire de la Costa Sur en una portada separada, si lo solicitan.

Por favor, comuníquese con el firmante si tiene preguntas o si necesita más información. Atentamente,



Robert E. Dick, PE, BCEE
Vicepresidente Sénior
SCS Engineers



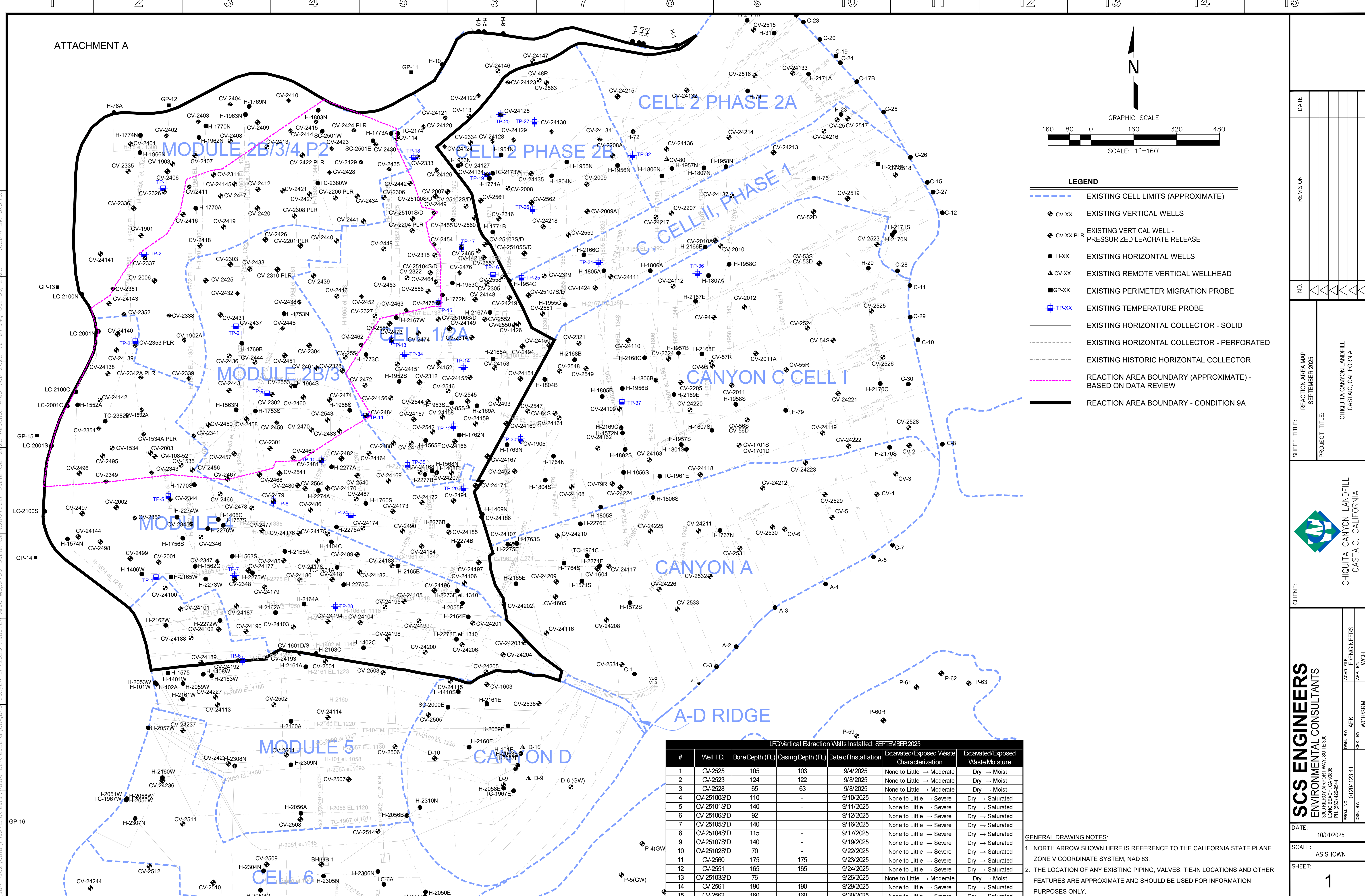
Patrick S. Sullivan, BCES, CCP
Vicepresidente Sénior
SCS Engineers

RED/PSS

cc: Nathaniel Dickel, SCAQMD
Christina Ojeda, SCAQMD
Patrick S. Sullivan, REPA, CPP, BCES, SCS Engineers
Pablo Sánchez Soria, PhD, CIH, CTEH
Neal Bolton, PE, Blue Ridge Services, Inc.
Richard Pleus, PhD, Intertox
Srividhya Viswanathan, PE, SCS Engineers

Adjuntos:

Adjunto A - Mapa del Área de Reacción
Adjunto B - Datos de las Sondas de Monitoreo de Temperatura de los Desechos In-Situ
Adjunto C - Mapa de Distribución de Gradiente Isotérmico
Adjunto D - Mapa del Rango de Metano a Carbono en el Cabezal del Pozo
Adjunto E - Mapa del Rango de Hidrógeno en el Cabezal del Pozo
Adjunto F - Mapa del Rango de Monóxido de Carbono en el Cabezal del Pozo
Adjunto G - Mapa del Rango Isopáquico del Asentamiento



ADJUNTO B

Perfiles de Temperatura Máxima en
Cabezales de Pozos de Desechos
Sólidos Durante 6 Semanas

del 21/8/2025 al 1/10/2025

SCS ENGINEERS

07224053.00

| 2 de octubre de 2025

274 Granite R Drive
Lancaster, PA 17601
717-550-6330

Desde el 25 de septiembre de 2025 hasta el 1 de octubre de 2025 hubo un aumento de temperatura registrada y tres reducciones de temperatura registradas que activaron los límites de aviso establecidos por la carta de la LEA del 4 de octubre de 2024.

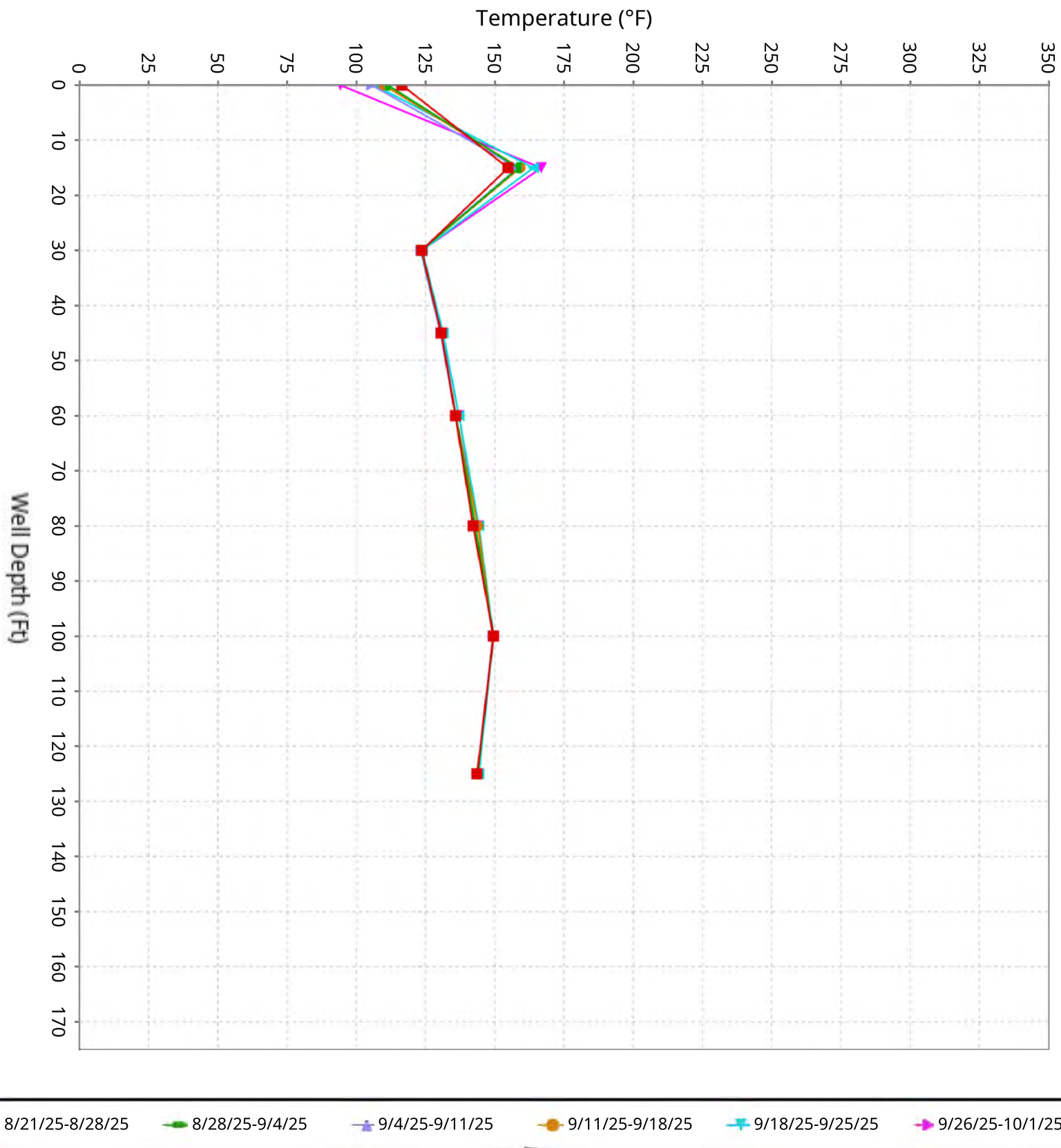
Además, al 4 de abril de 2025, se instalaron y están en línea doce TMPs nuevas (TMP-21, TMP-24, TMP-25, TMP-26, TMP-27, TMP-28, TMP-29, TMP-30, TMP-31, TMP-32, TMP-34 y TMP-35). Ninguna de estas nuevas doce TMPs indican que hayan ocurrido temperaturas de reacción fuera del límite de la zona reactiva dirigido por datos actualmente delineado y las cuatro TMPs que pudieron perforarse dentro de los 25 pies del revestimiento (TMP-24, TMP-27, TMP-31 y TMP-32) indican temperaturas significativamente más frescas en la termocupla más profunda, como se previó, debido al enfriamiento de la tierra subyacente.

Chiquita proporciona las siguientes actualizaciones:

- TP-07
 - Como se informó previamente, la termocupla a 60 pies indicó una lectura anómala el 21 de agosto de 198°F en una sola lectura de una hora; sin embargo, las lecturas posteriores fueron consistentes con las temperaturas registradas previas y ninguna otra termocupla en TP-07 mostró cambios de temperatura de este tipo, indicando que este aumento registrado de la temperatura muy probablemente fue erróneo.
- TP-08
 - Como se informó previamente, la termocupla a 150 pies indicó una lectura anómala el 15 de septiembre de 224°F en una sola lectura de una hora; sin embargo, las lecturas posteriores fueron consistentes con las temperaturas registradas previas y ninguna otra termocupla en TP-08 mostró cambios de temperatura de este tipo, indicando que este aumento registrado de la temperatura muy probablemente fue erróneo. La termocupla a 150 pies se mantuvo consistente con las temperaturas registradas previas.
 - La termocupla a los 150 pies indicó una reducción en la temperatura máxima de 10 °F, de 179 °F a 169 °F, desde el 23 de septiembre hasta el 26 de septiembre; después un aumento en la temperatura máxima de 12 °F, de 169 °F a 181 °F desde el 26 de septiembre hasta el 30 de septiembre y después una reducción en la temperatura mínima de 12 °F de 181 °F a 169 °F desde el 30 de septiembre hasta el 1 de octubre.
- TP-13
 - La termocupla a 30 pies se mantuvo consistente con las temperaturas registradas previas.
- TP-21
 - La termocupla de 60 pies mostró una reducción en la temperatura máxima de 10°F de 176°F a 166°F desde el 20 de septiembre al 27 de septiembre.
- TP-35
 - Como se informó previamente, todas las termocuplas estuvieron temporalmente fuera de línea el 2 de septiembre para reparar el revestimiento de la termocupla. Como resultado, todas las lecturas máximas del 2 de septiembre son erróneas.

Vertical Temperature Profiles from Temperature Probes at Chiquita Landfill for TP-1

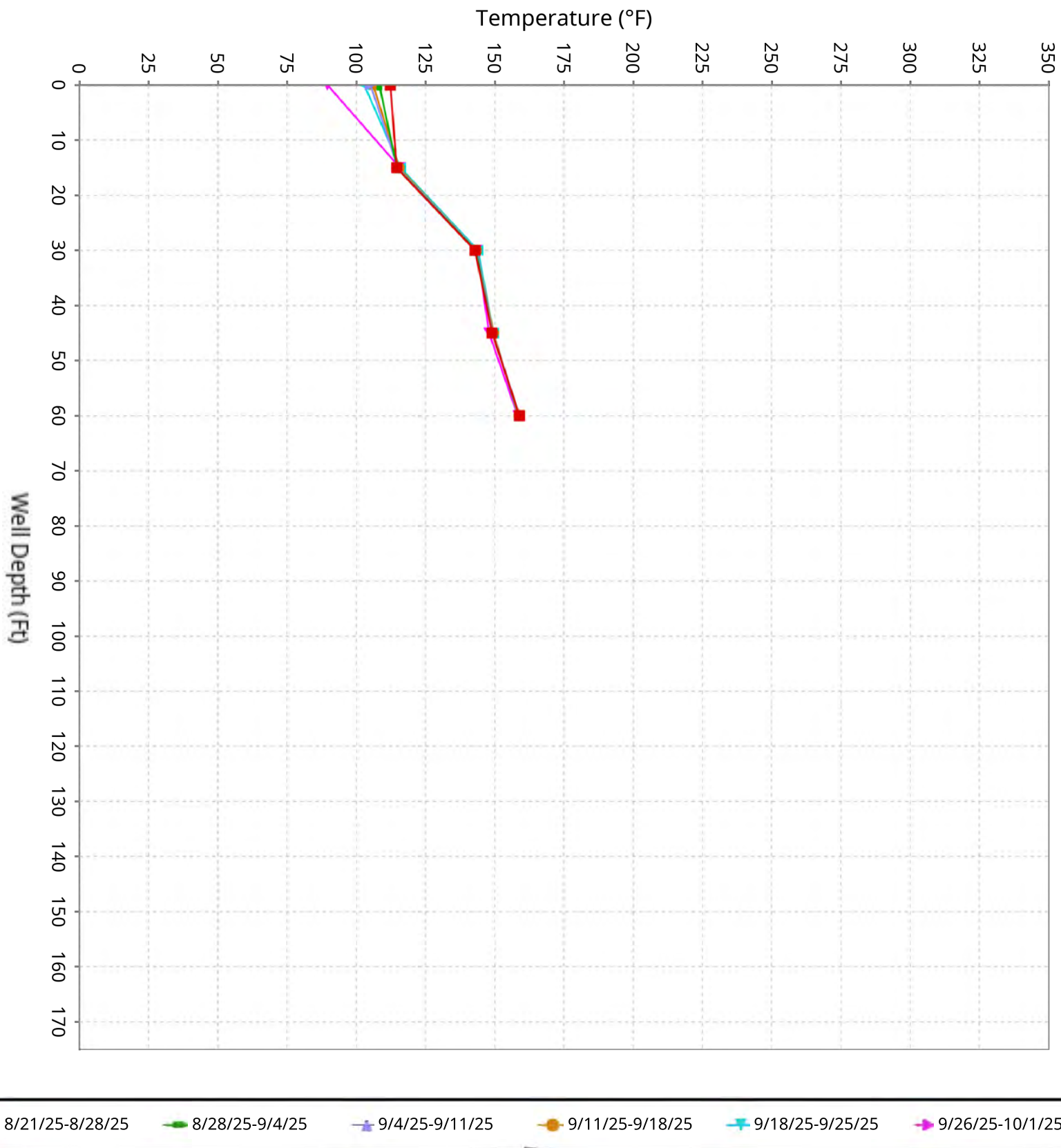
Maximum data for 8/21/2025 to 10/1/2025



■ 8/21/25-8/28/25 ■ 8/28/25-9/4/25 ■ 9/4/25-9/11/25 ■ 9/11/25-9/18/25 ■ 9/18/25-9/25/25 ■ 9/26/25-10/1/25

Vertical Temperature Profiles from Temperature Probes at Chiquita Landfill for TP-2

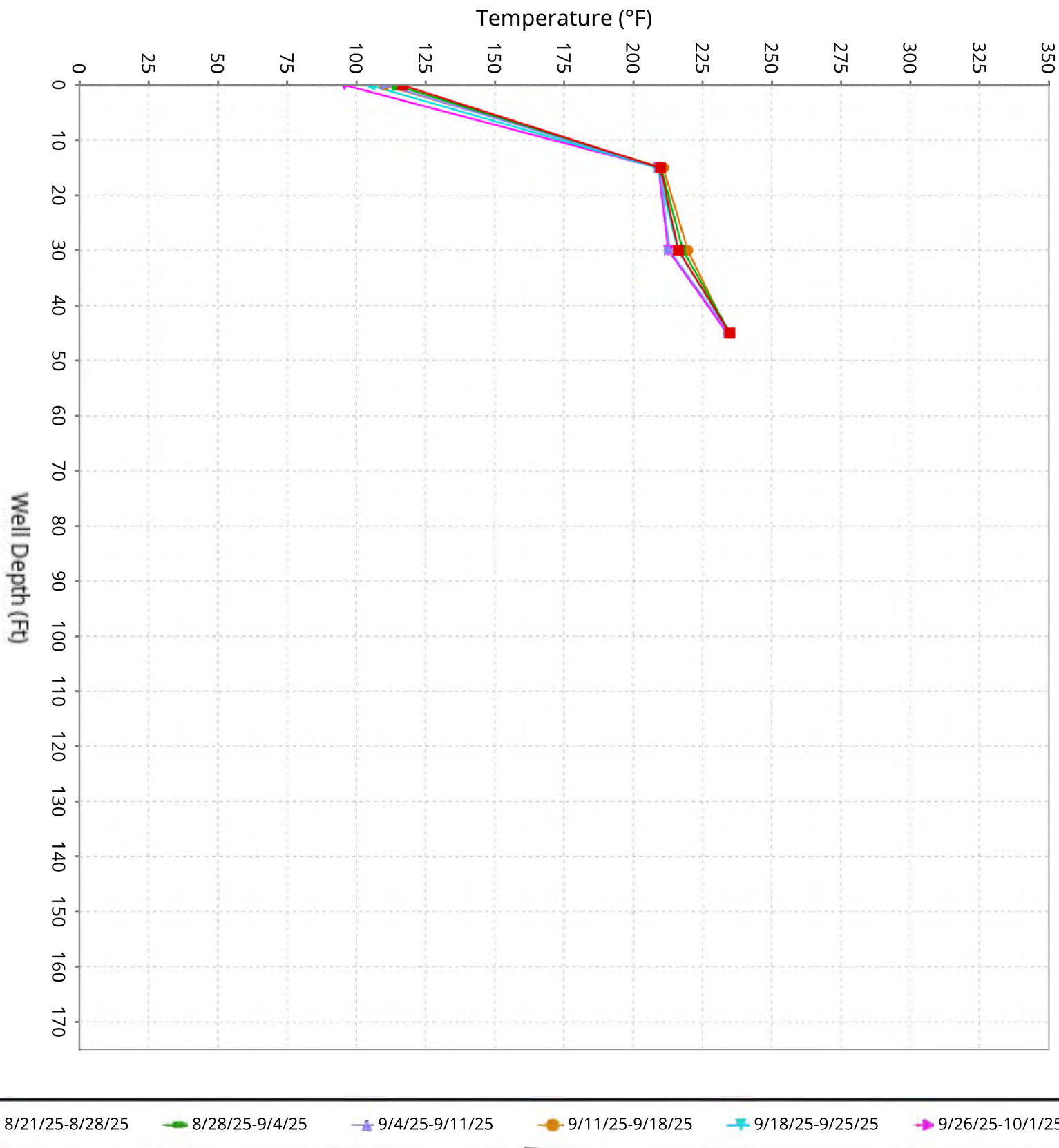
Maximum data for 8/21/2025 to 10/1/2025



■ 8/21/25-8/28/25 ■ 8/28/25-9/4/25 ■ 9/4/25-9/11/25 ■ 9/11/25-9/18/25 ■ 9/18/25-9/25/25 ■ 9/26/25-10/1/25

Vertical Temperature Profiles from Temperature Probes at Chiquita Landfill for TP-3

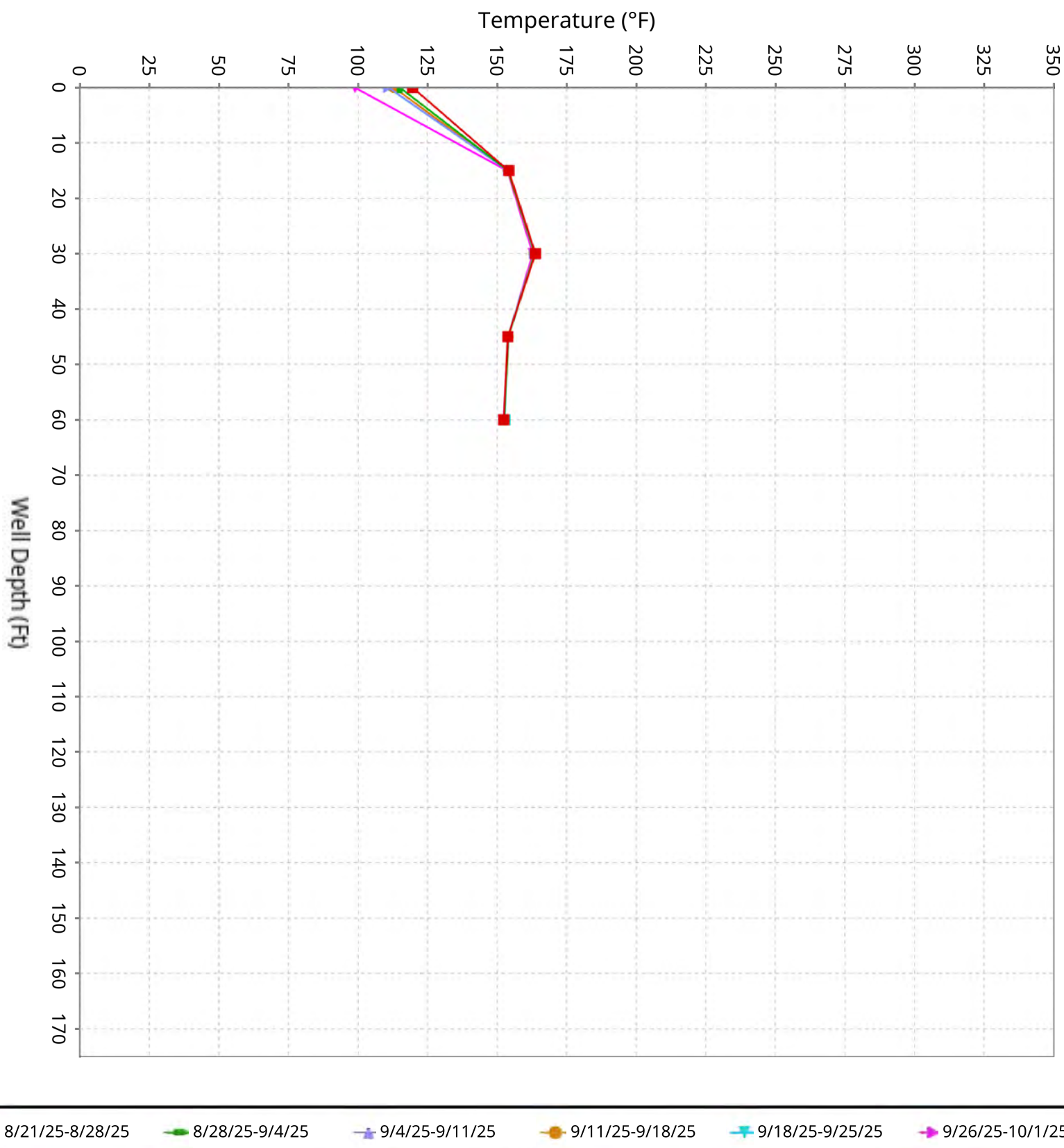
Maximum data for 8/21/2025 to 10/1/2025



■ 8/21/25-8/28/25 ■ 8/28/25-9/4/25 ■ 9/4/25-9/11/25 ■ 9/11/25-9/18/25 ■ 9/18/25-9/25/25 ■ 9/26/25-10/1/25

Vertical Temperature Profiles from Temperature Probes at Chiquita Landfill for TP-4

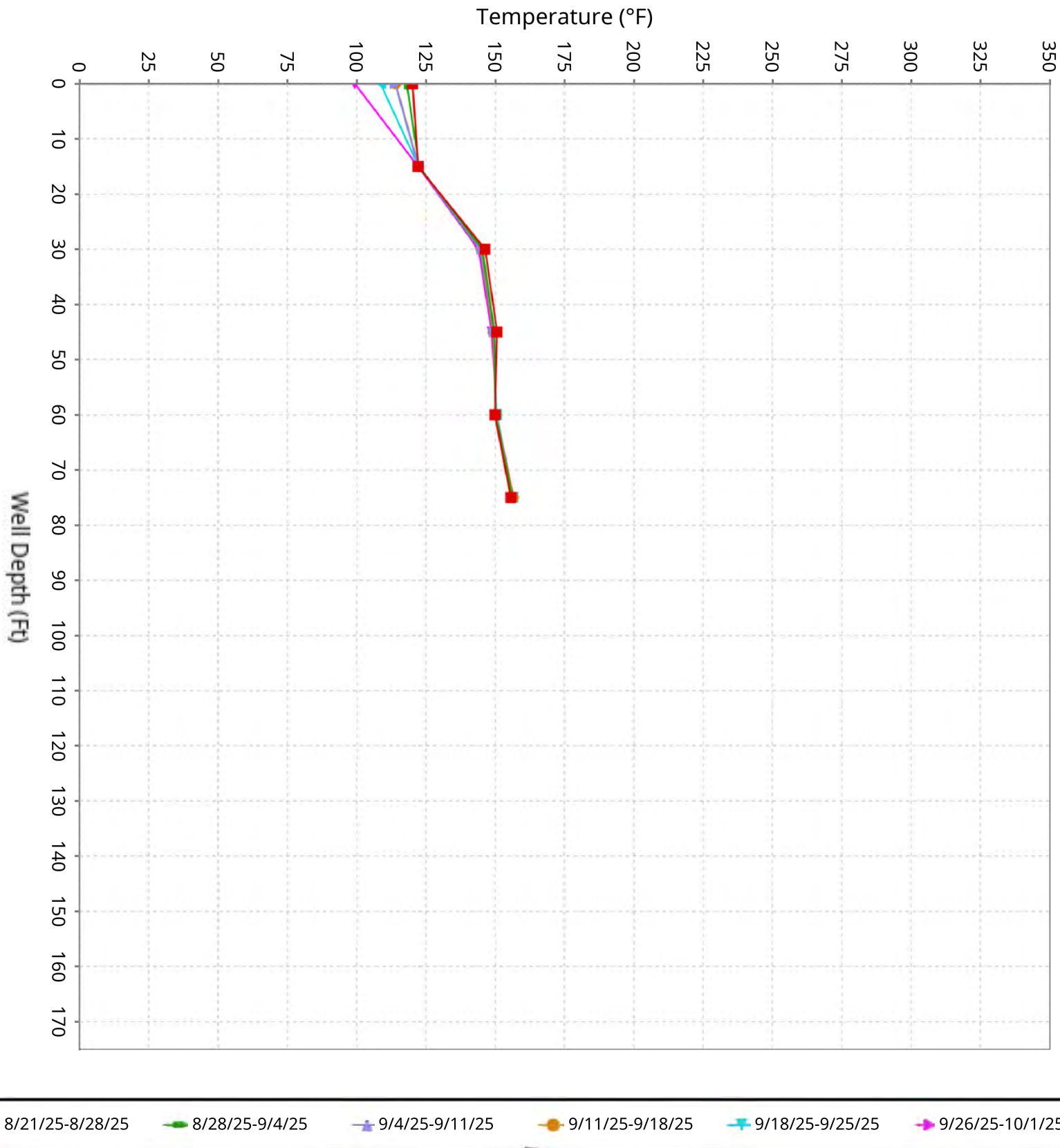
Maximum data for 8/21/2025 to 10/1/2025



■ 8/21/25-8/28/25 ■ 8/28/25-9/4/25 ■ 9/4/25-9/11/25 ■ 9/11/25-9/18/25 ■ 9/18/25-9/25/25 ■ 9/26/25-10/1/25

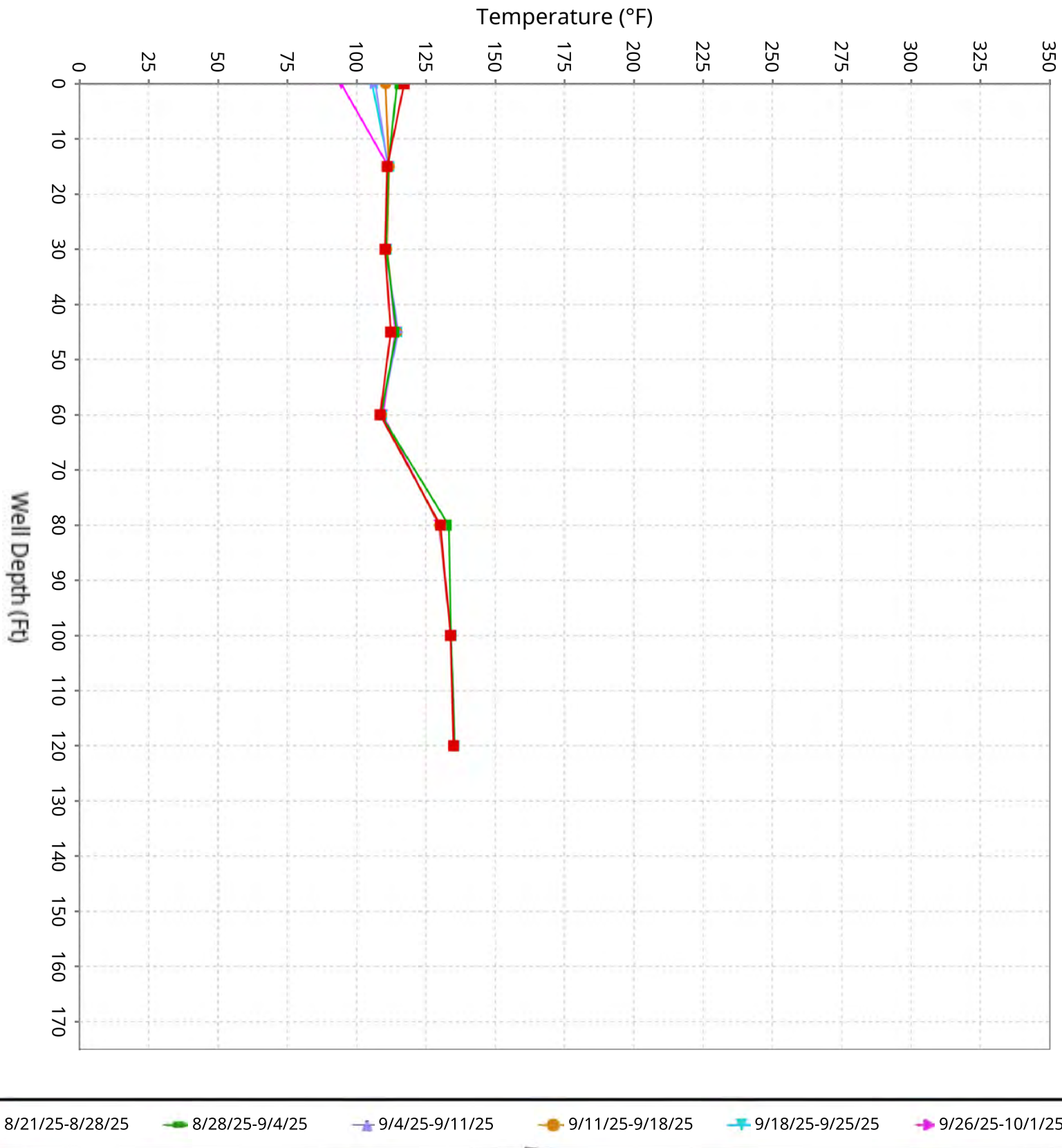
Vertical Temperature Profiles from Temperature Probes at Chiquita Landfill for TP-5

Maximum data for 8/21/2025 to 10/1/2025



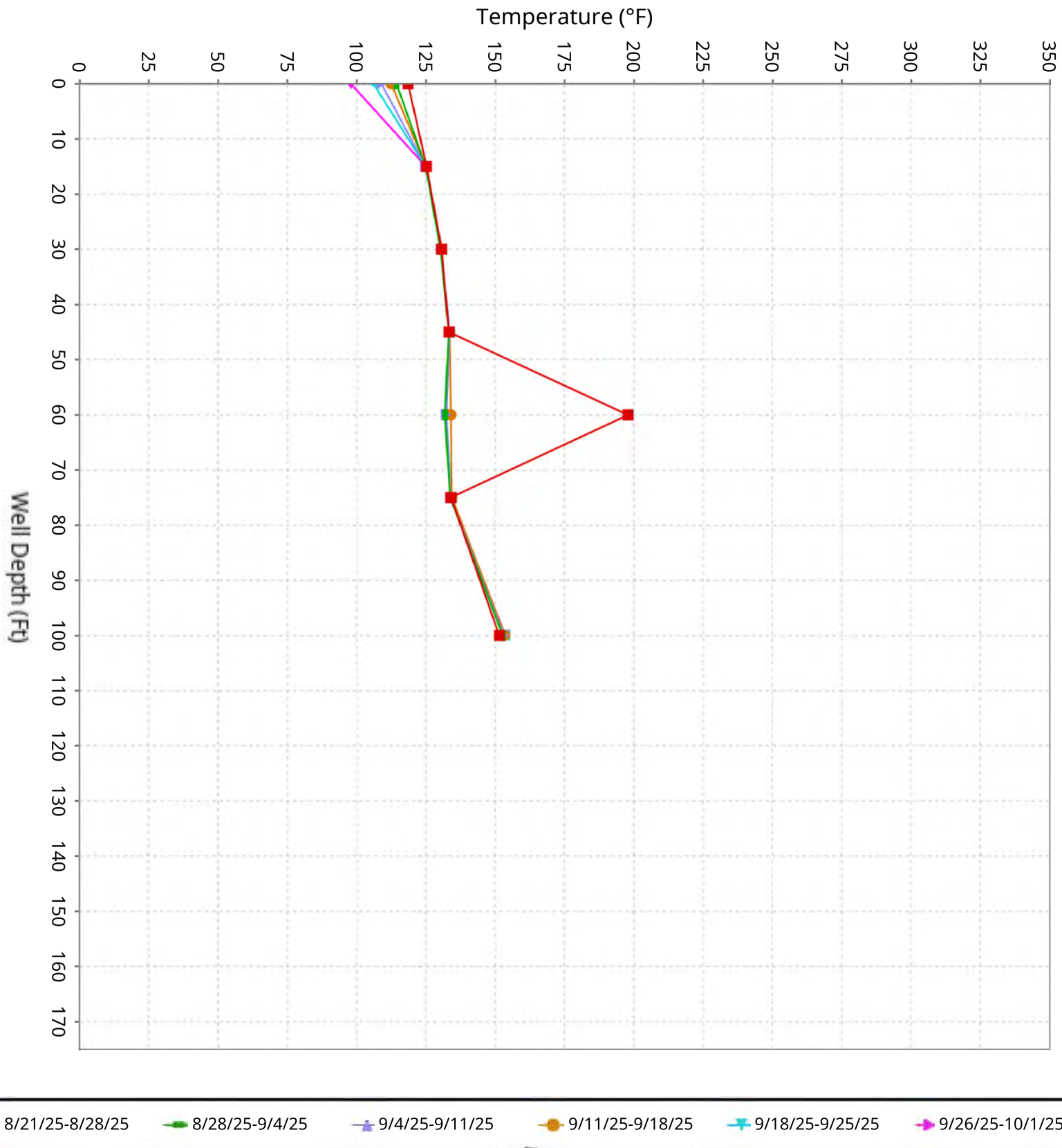
Vertical Temperature Profiles from Temperature Probes at Chiquita Landfill for TP-6

Maximum data for 8/21/2025 to 10/1/2025



Vertical Temperature Profiles from Temperature Probes at Chiquita Landfill for TP-7

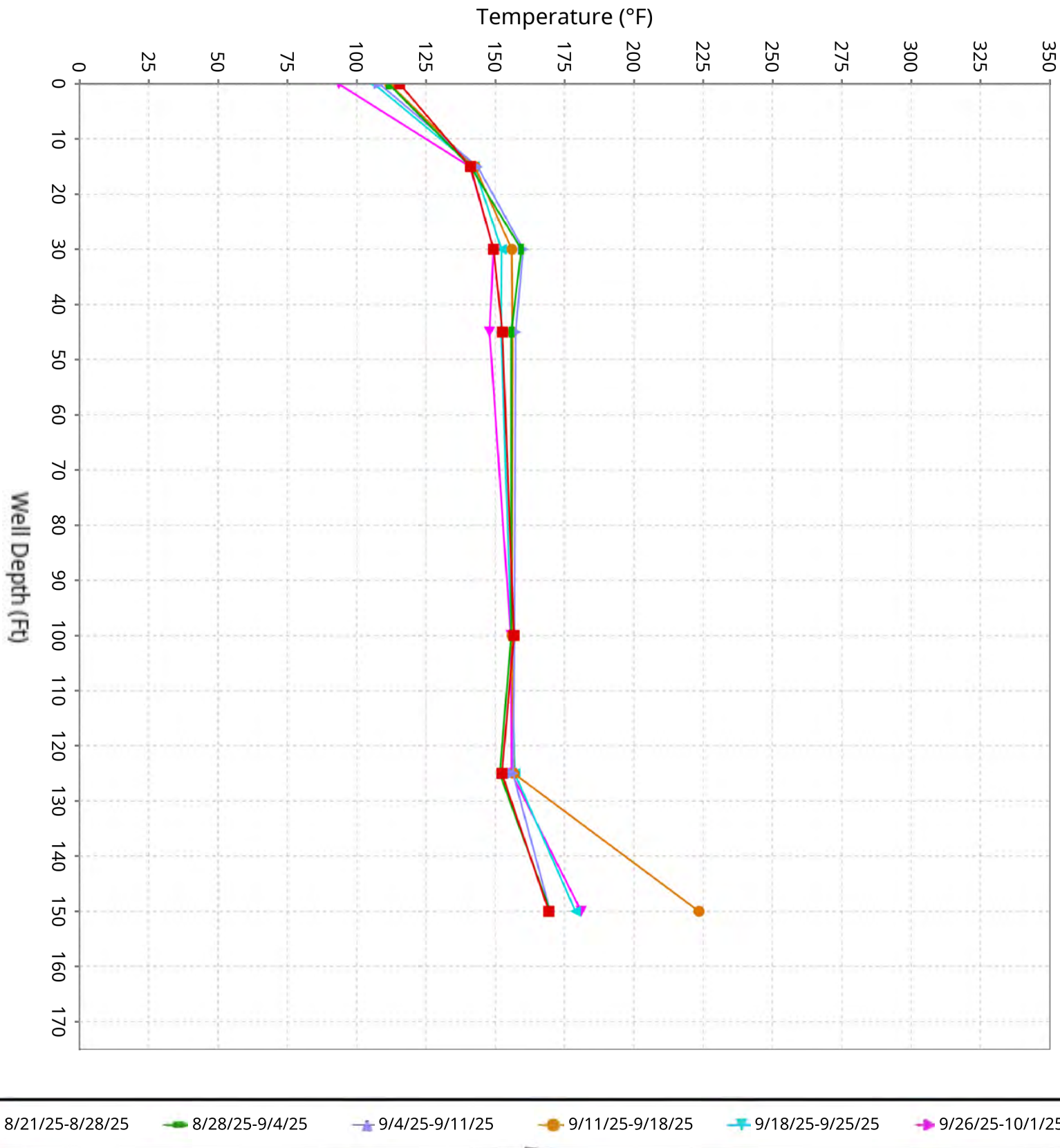
Maximum data for 8/21/2025 to 10/1/2025



■ 8/21/25-8/28/25 ■ 8/28/25-9/4/25 ■ 9/4/25-9/11/25 ■ 9/11/25-9/18/25 ■ 9/18/25-9/25/25 ■ 9/26/25-10/1/25

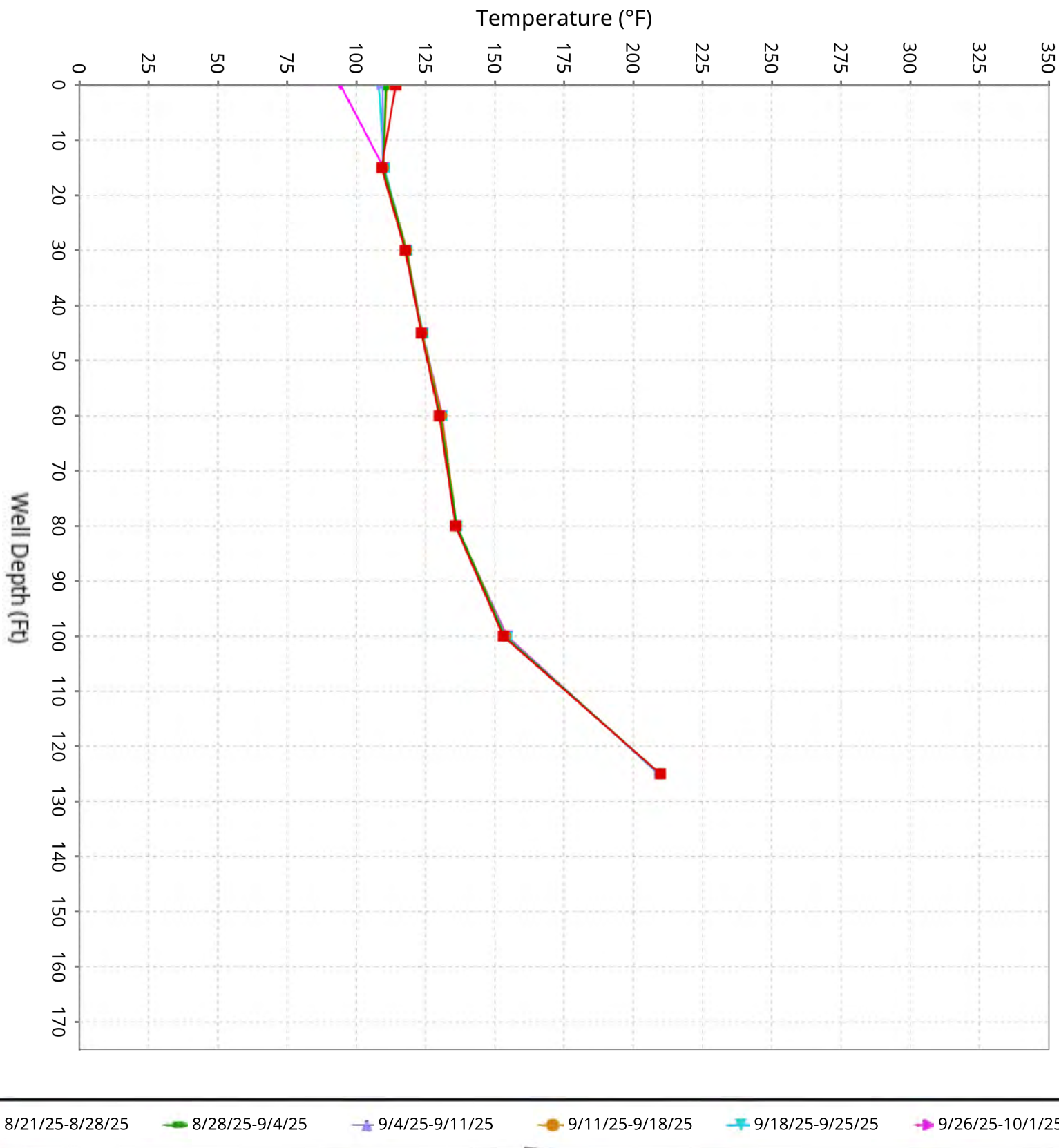
Vertical Temperature Profiles from Temperature Probes at Chiquita Landfill for TP-8

Maximum data for 8/21/2025 to 10/1/2025



Vertical Temperature Profiles from Temperature Probes at Chiquita Landfill for TP-9

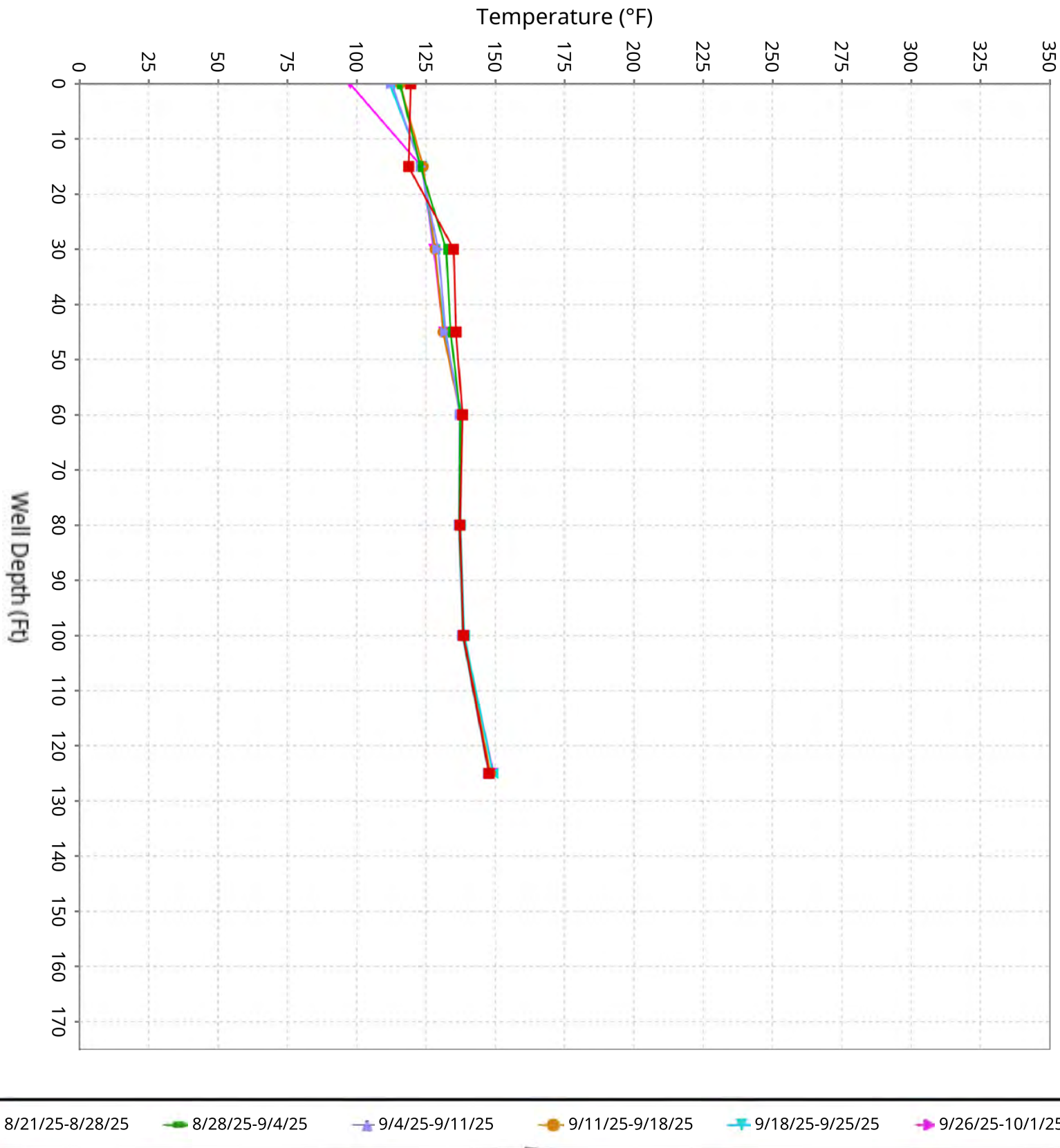
Maximum data for 8/21/2025 to 10/1/2025



■ 8/21/25-8/28/25 ■ 8/28/25-9/4/25 ■ 9/4/25-9/11/25 ■ 9/11/25-9/18/25 ■ 9/18/25-9/25/25 ■ 9/26/25-10/1/25

Vertical Temperature Profiles from Temperature Probes at Chiquita Landfill for TP-10

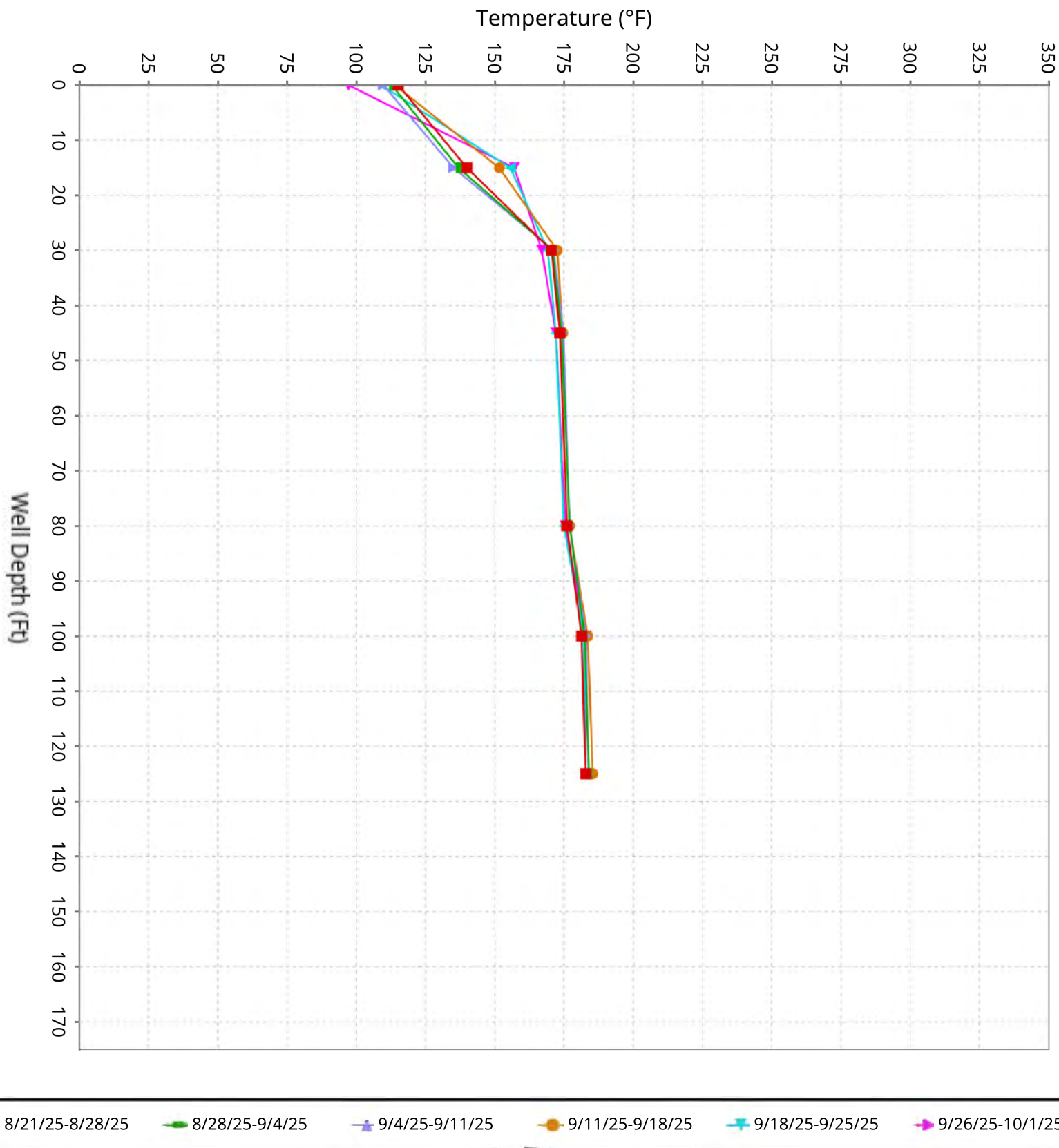
Maximum data for 8/21/2025 to 10/1/2025



■ 8/21/25-8/28/25 ■ 8/28/25-9/4/25 ■ 9/4/25-9/11/25 ■ 9/11/25-9/18/25 ■ 9/18/25-9/25/25 ■ 9/26/25-10/1/25

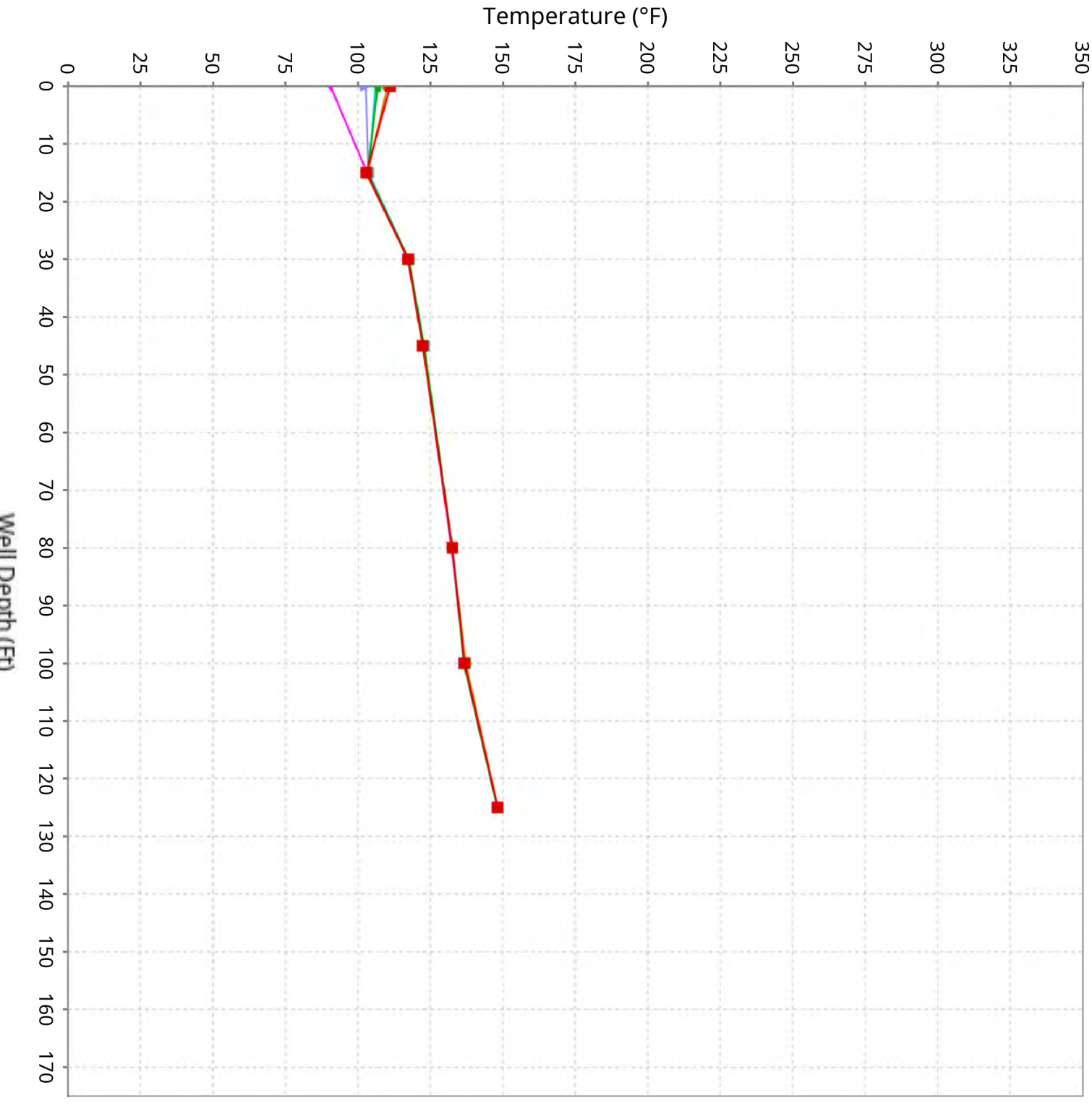
Vertical Temperature Profiles from Temperature Probes at Chiquita Landfill for TP-11

Maximum data for 8/21/2025 to 10/1/2025



Vertical Temperature Profiles from Temperature Probes at Chiquita Landfill for TP-12

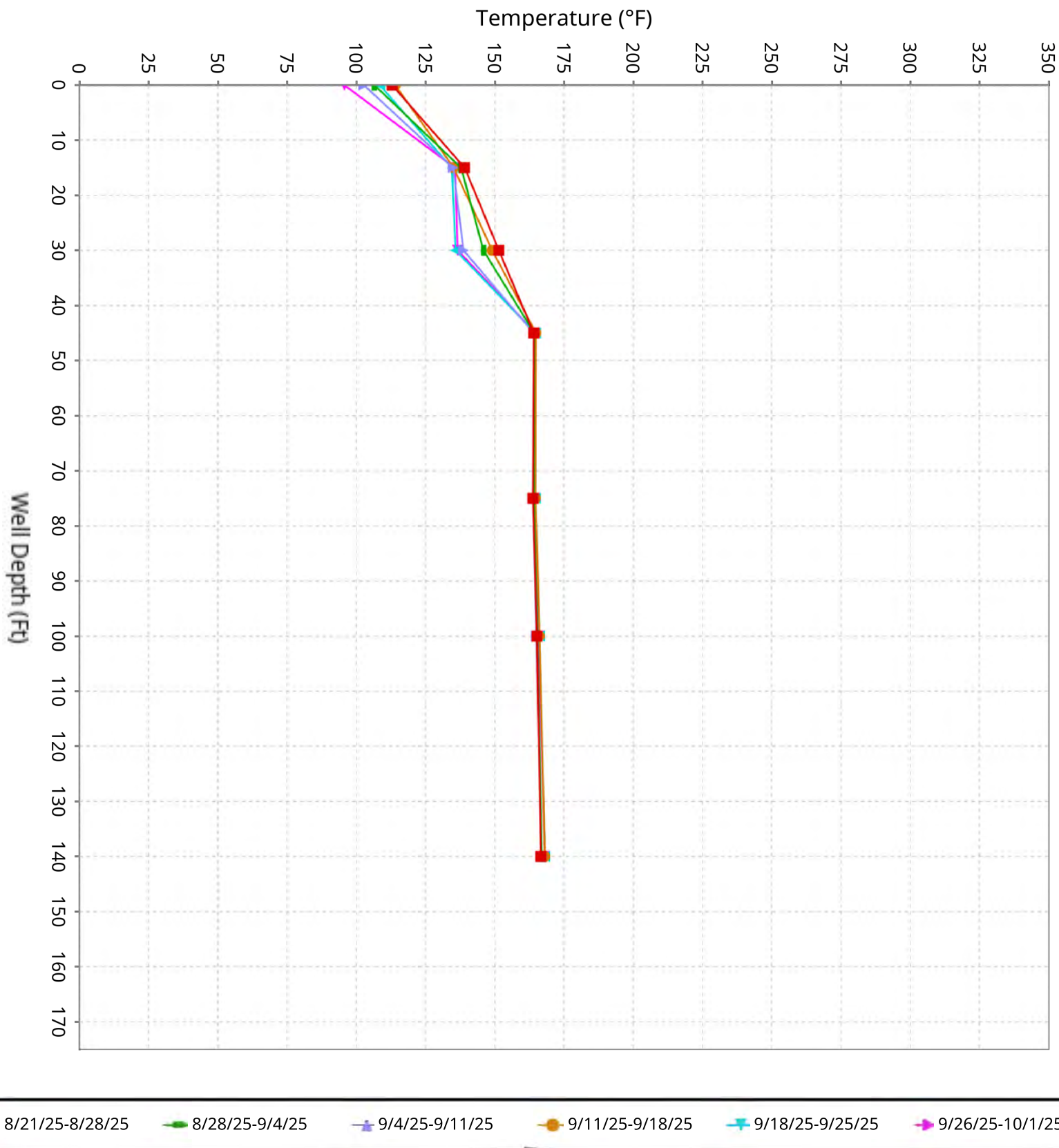
Maximum data for 8/21/2025 to 10/1/2025



■ 8/21/25-8/28/25 ■ 8/28/25-9/4/25 ■ 9/4/25-9/11/25 ■ 9/11/25-9/18/25 ■ 9/18/25-9/25/25 ■ 9/26/25-10/1/25

Vertical Temperature Profiles from Temperature Probes at Chiquita Landfill for TP-13

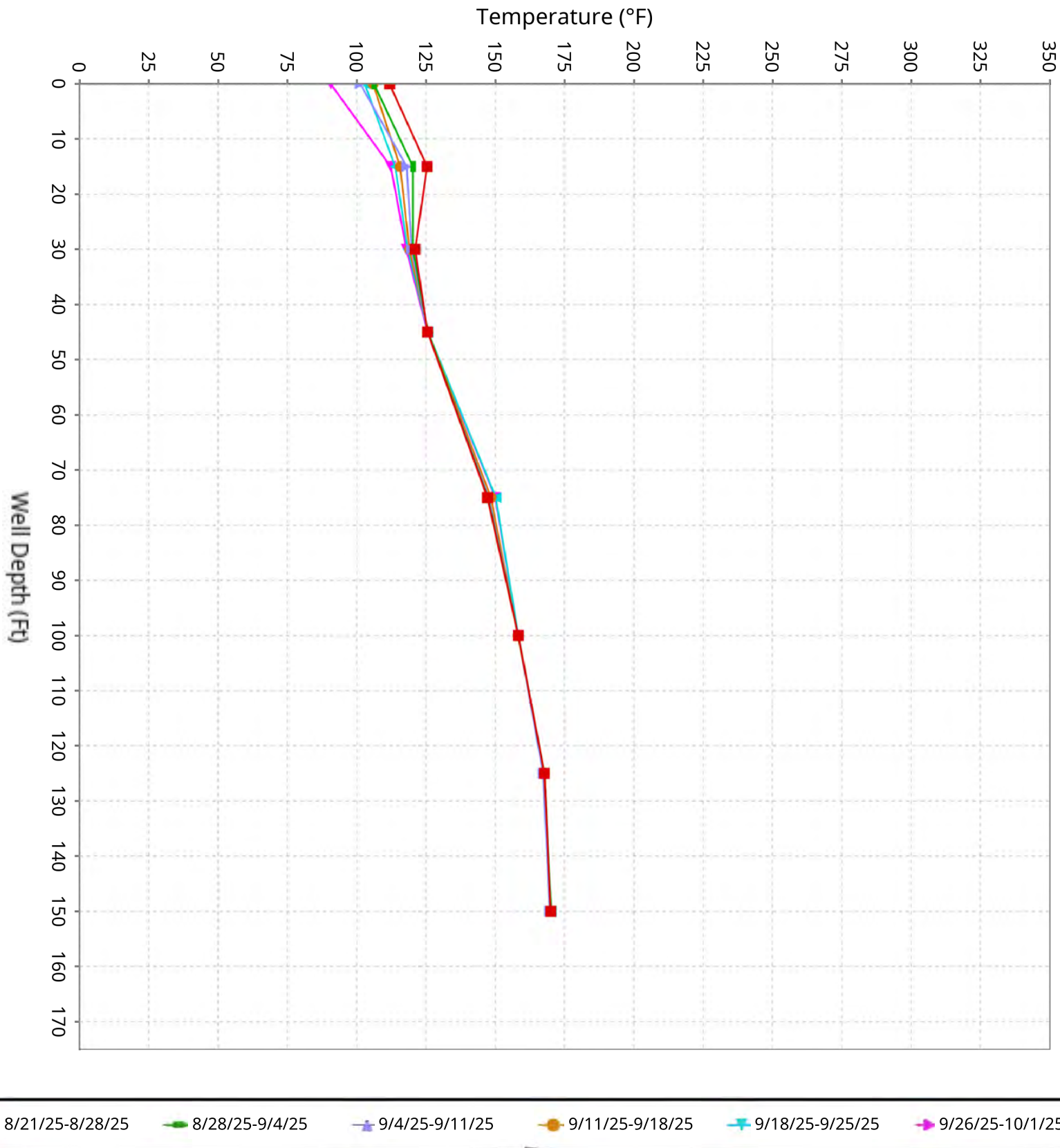
Maximum data for 8/21/2025 to 10/1/2025



■ 8/21/25-8/28/25 ■ 8/28/25-9/4/25 ■ 9/4/25-9/11/25 ■ 9/11/25-9/18/25 ■ 9/18/25-9/25/25 ■ 9/26/25-10/1/25

Vertical Temperature Profiles from Temperature Probes at Chiquita Landfill for TP-14

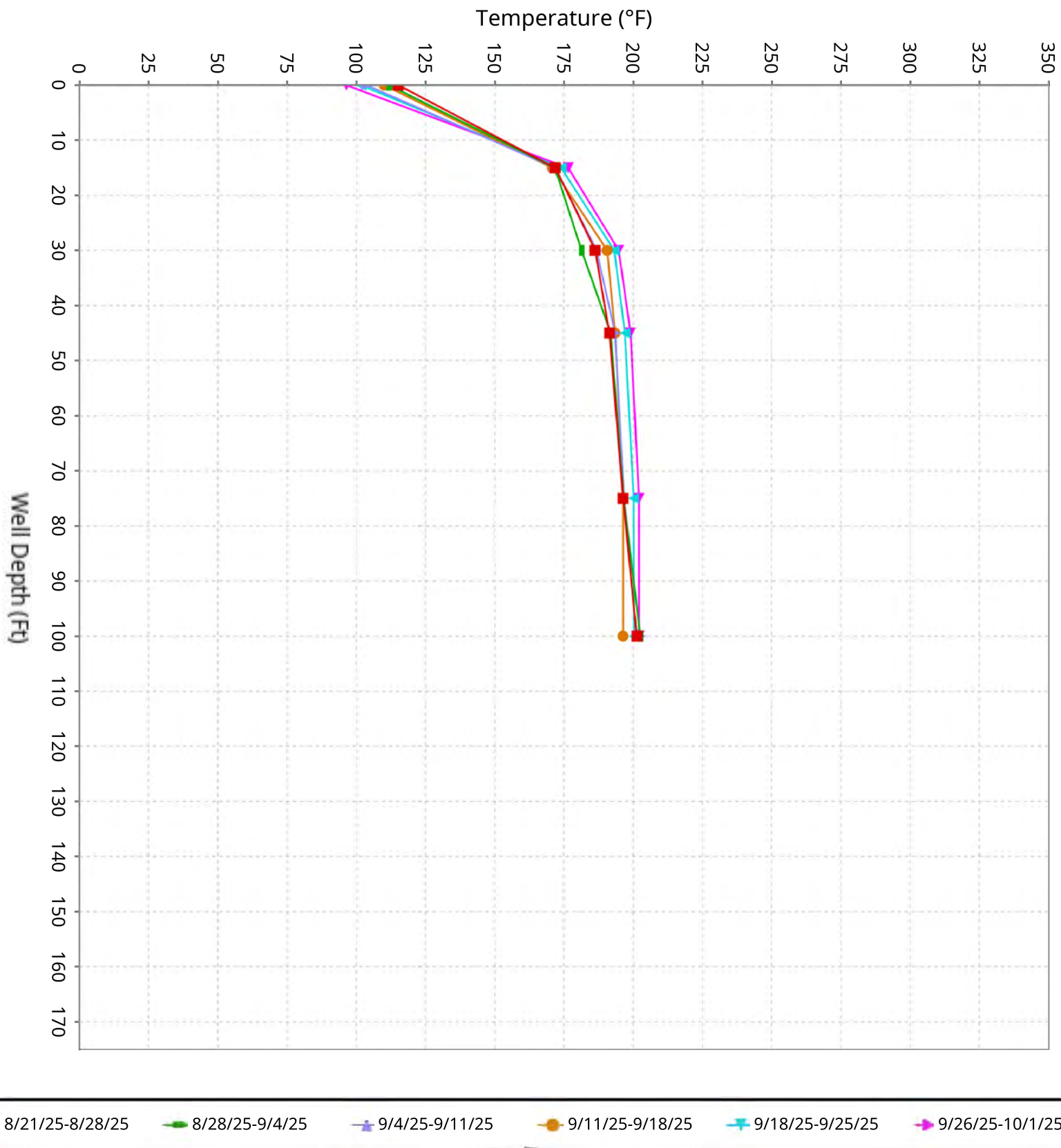
Maximum data for 8/21/2025 to 10/1/2025



■ 8/21/25-8/28/25 ■ 8/28/25-9/4/25 ■ 9/4/25-9/11/25 ■ 9/11/25-9/18/25 ■ 9/18/25-9/25/25 ■ 9/26/25-10/1/25

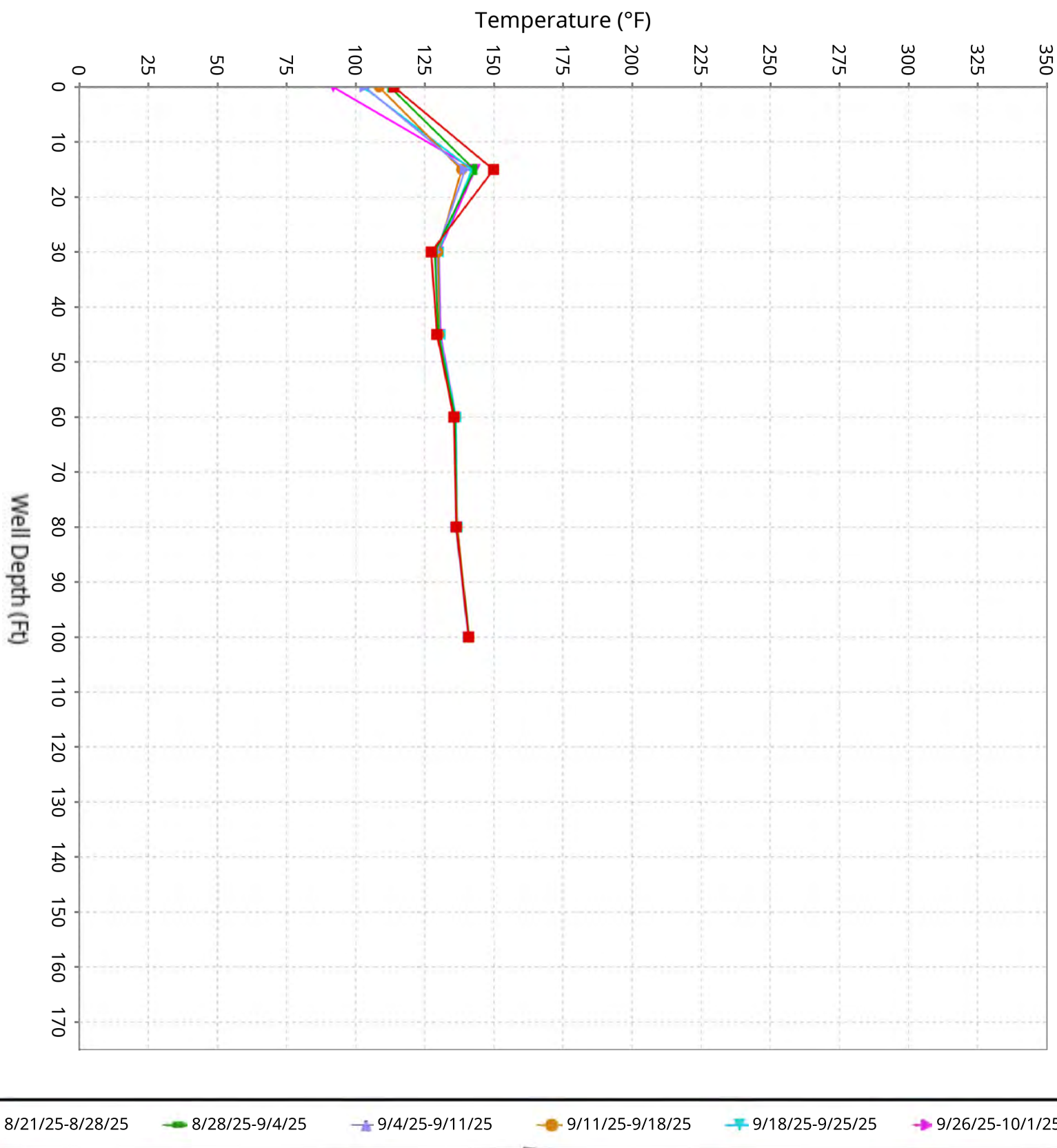
Vertical Temperature Profiles from Temperature Probes at Chiquita Landfill for TP-15

Maximum data for 8/21/2025 to 10/1/2025



Vertical Temperature Profiles from Temperature Probes at Chiquita Landfill for TP-16

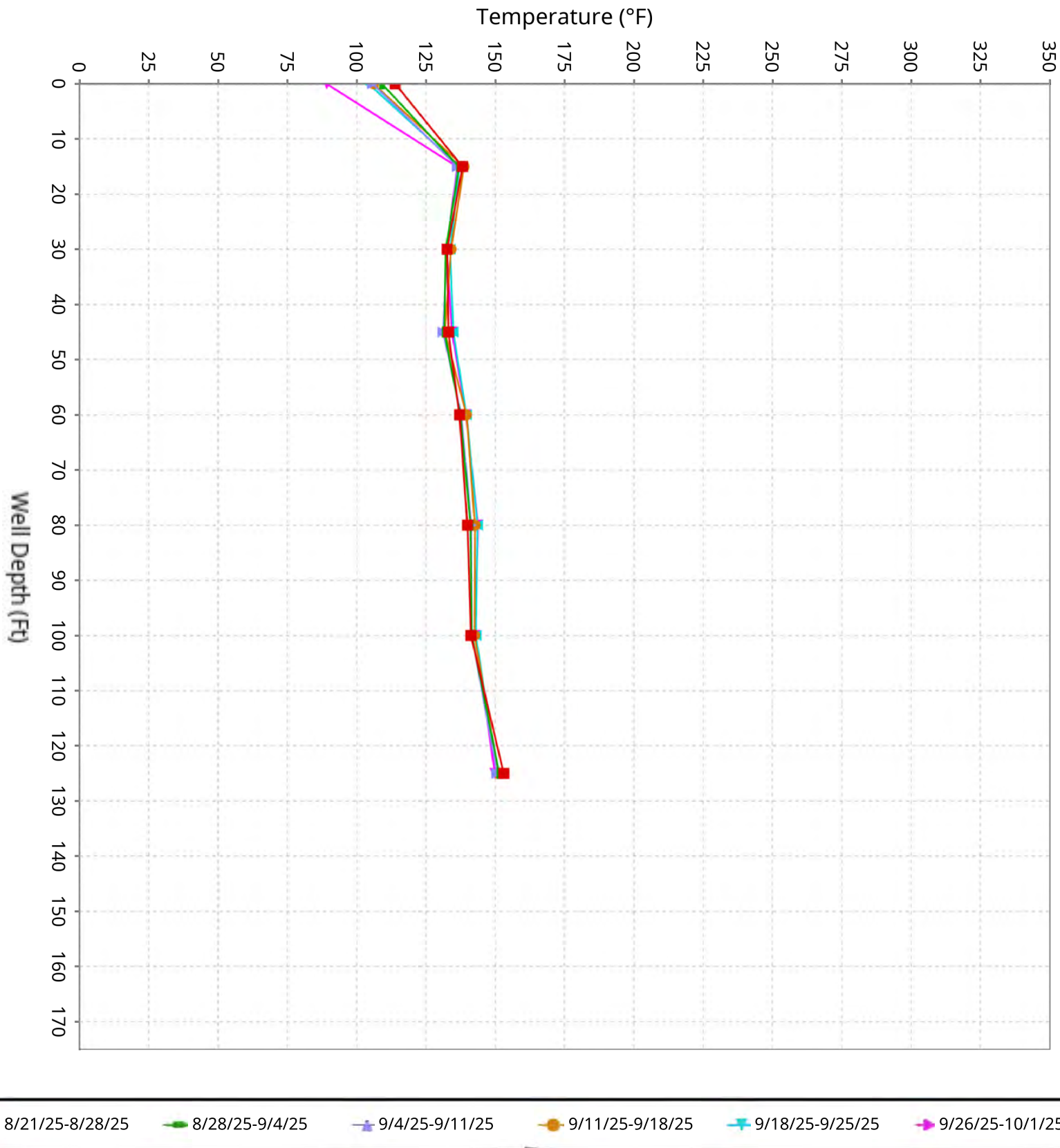
Maximum data for 8/21/2025 to 10/1/2025



■ 8/21/25-8/28/25 ■ 8/28/25-9/4/25 ■ 9/4/25-9/11/25 ■ 9/11/25-9/18/25 ■ 9/18/25-9/25/25 ■ 9/26/25-10/1/25

Vertical Temperature Profiles from Temperature Probes at Chiquita Landfill for TP-17

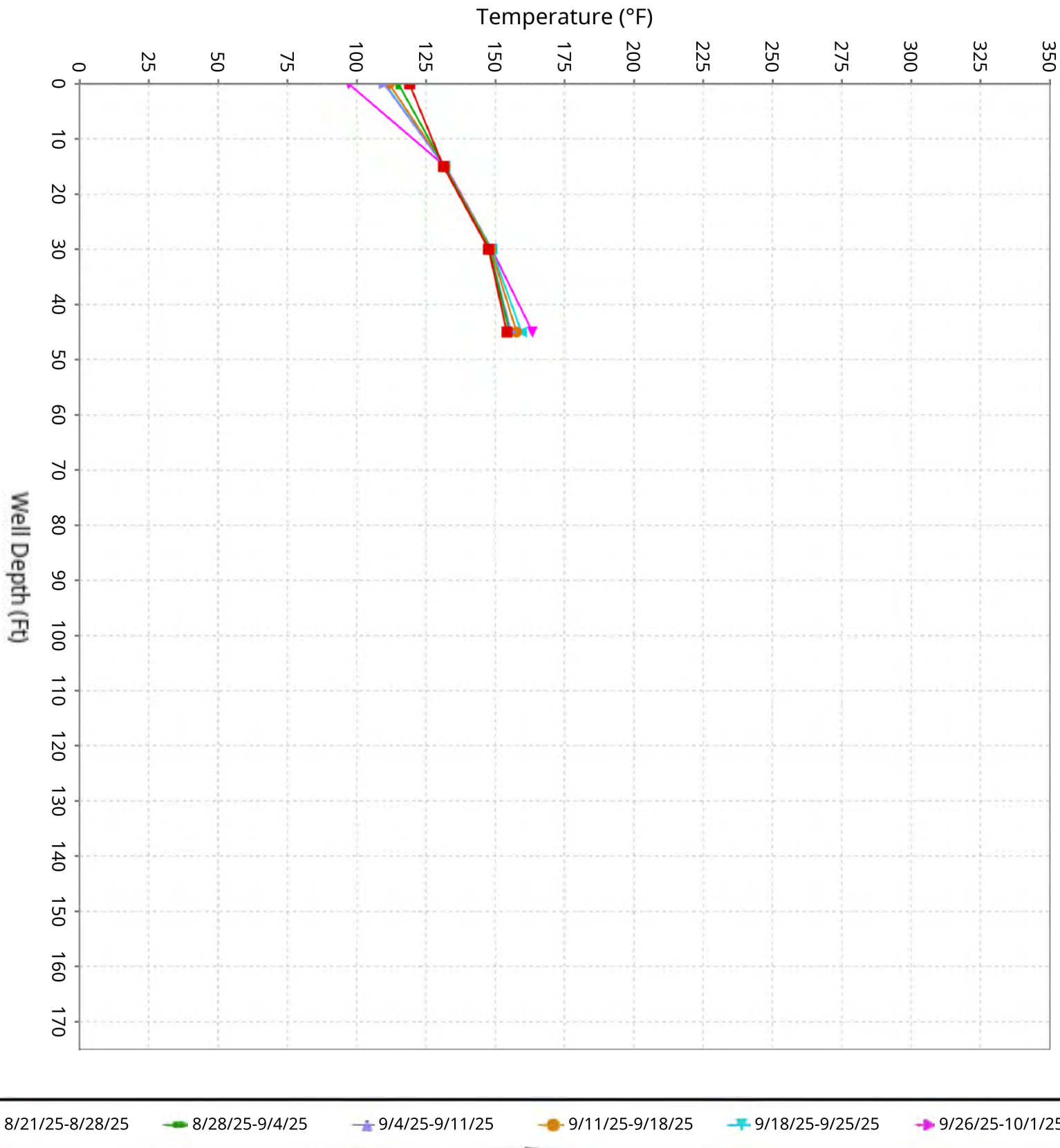
Maximum data for 8/21/2025 to 10/1/2025



■ 8/21/25-8/28/25 ■ 8/28/25-9/4/25 ■ 9/4/25-9/11/25 ■ 9/11/25-9/18/25 ■ 9/18/25-9/25/25 ■ 9/26/25-10/1/25

Vertical Temperature Profiles from Temperature Probes at Chiquita Landfill for TP-18

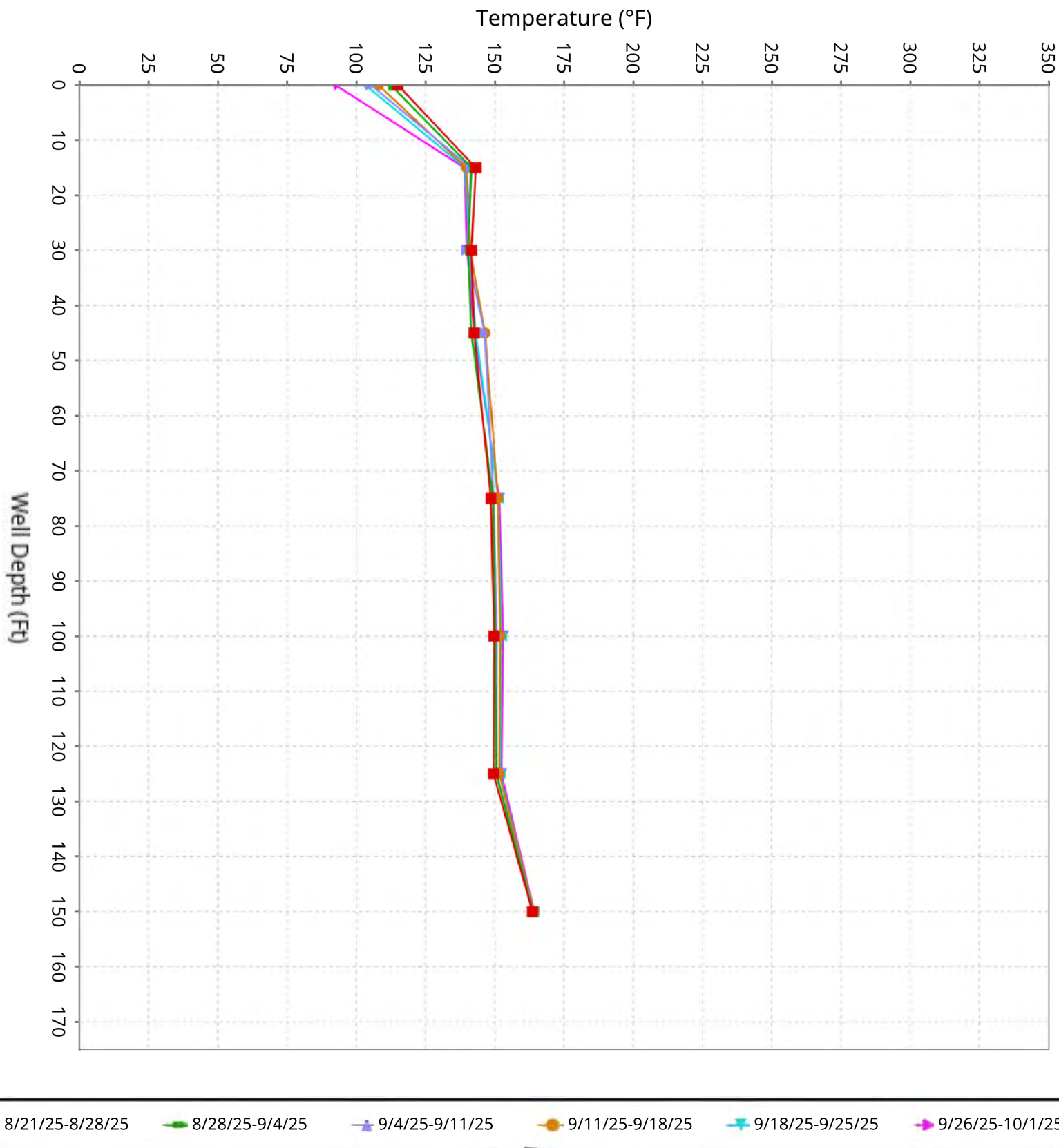
Maximum data for 8/21/2025 to 10/1/2025



■ 8/21/25-8/28/25 ■ 8/28/25-9/4/25 ■ 9/4/25-9/11/25 ■ 9/11/25-9/18/25 ■ 9/18/25-9/25/25 ■ 9/26/25-10/1/25

Vertical Temperature Profiles from Temperature Probes at Chiquita Landfill for TP-19

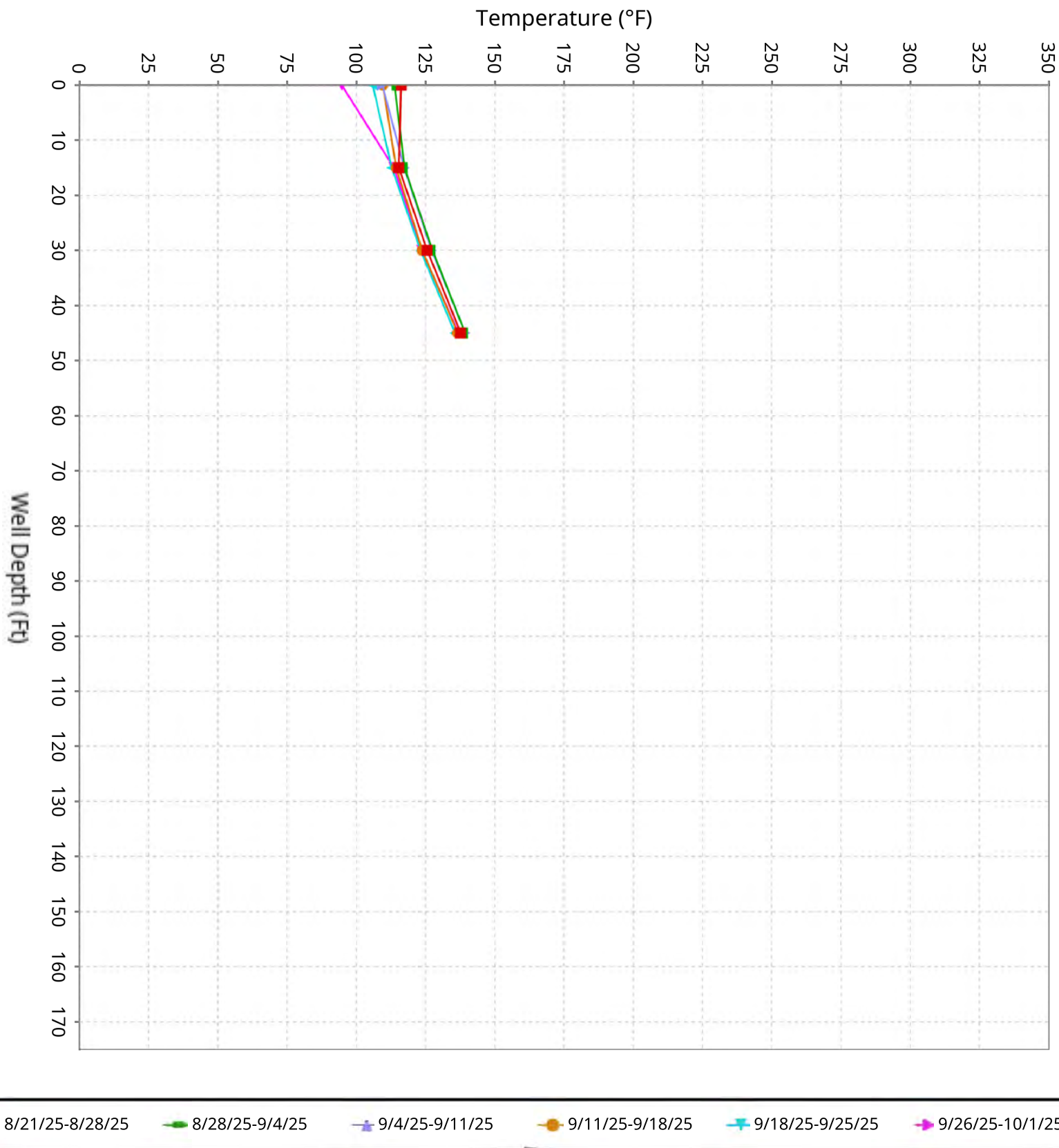
Maximum data for 8/21/2025 to 10/1/2025



■ 8/21/25-8/28/25 ■ 8/28/25-9/4/25 ■ 9/4/25-9/11/25 ■ 9/11/25-9/18/25 ■ 9/18/25-9/25/25 ■ 9/26/25-10/1/25

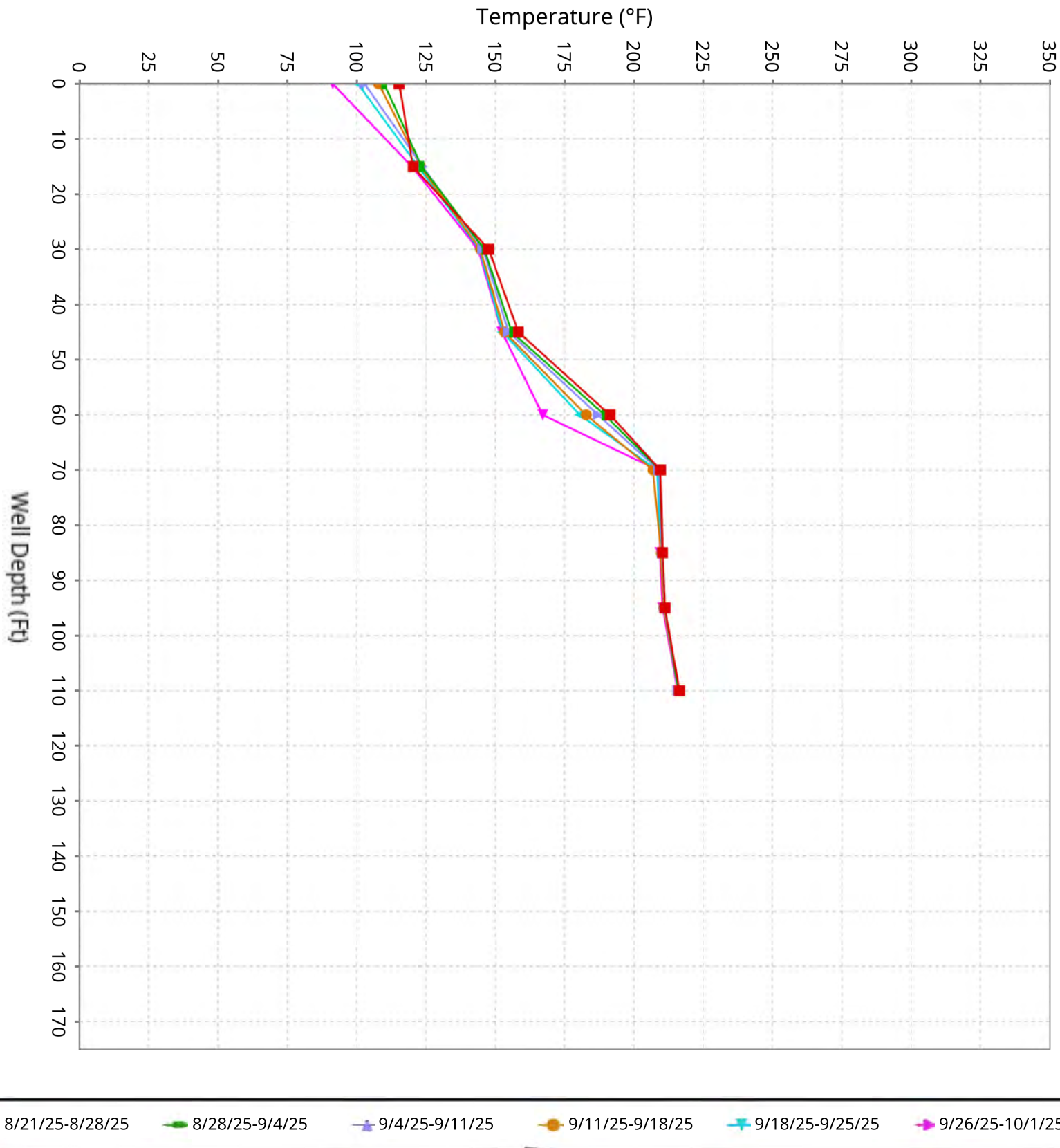
Vertical Temperature Profiles from Temperature Probes at Chiquita Landfill for TP-20

Maximum data for 8/21/2025 to 10/1/2025



Vertical Temperature Profiles from Temperature Probes at Chiquita Landfill for TP-21

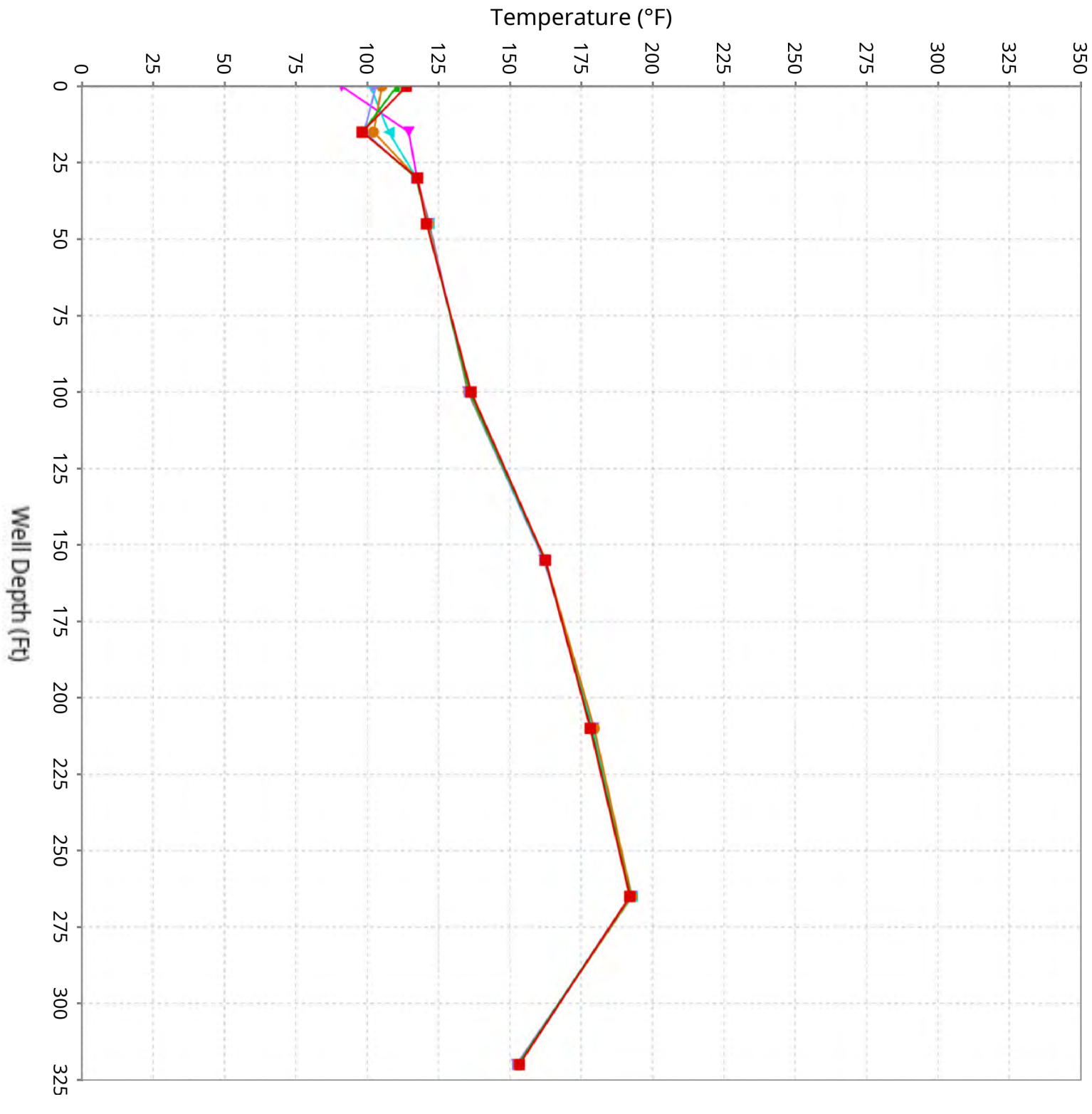
Maximum data for 8/21/2025 to 10/1/2025



■ 8/21/25-8/28/25 ■ 8/28/25-9/4/25 ■ 9/4/25-9/11/25 ■ 9/11/25-9/18/25 ■ 9/18/25-9/25/25 ■ 9/26/25-10/1/25

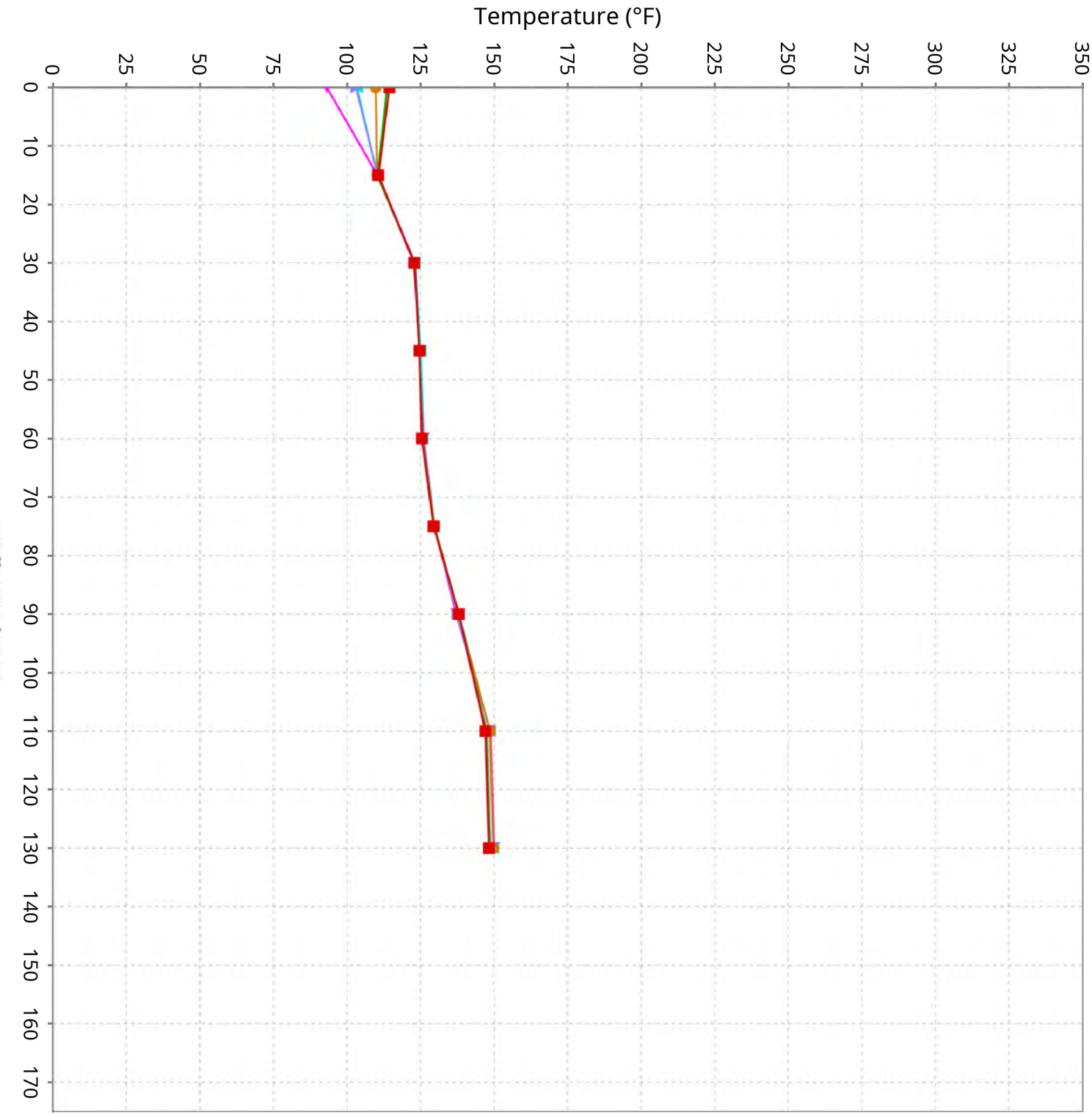
Vertical Temperature Profiles from Temperature Probes at Chiquita Landfill for TP-24

Maximum data for 8/21/2025 to 10/1/2025



Vertical Temperature Profiles from Temperature Probes at Chiquita Landfill for TP-25

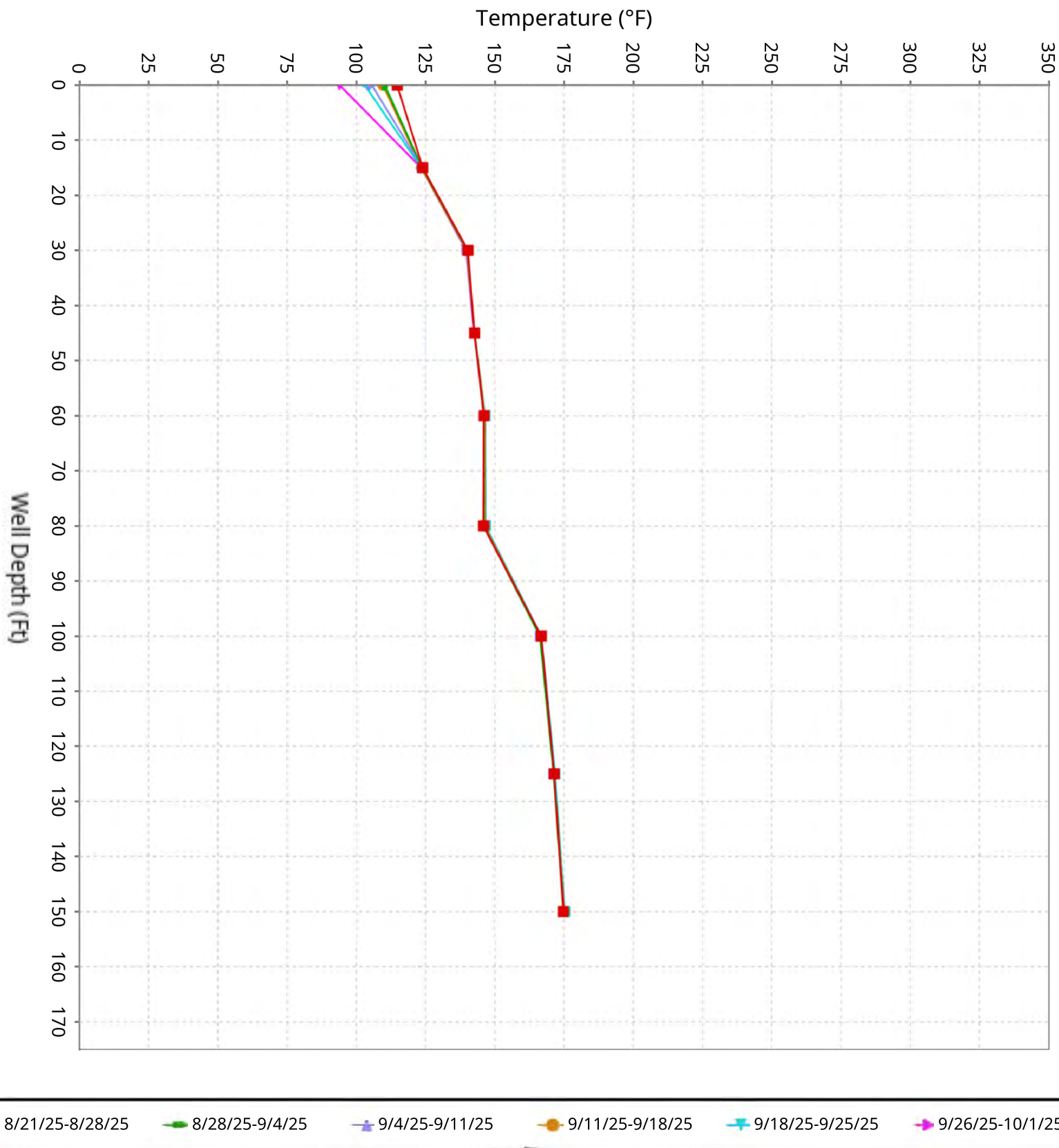
Maximum data for 8/21/2025 to 10/1/2025



■ 8/21/25-8/28/25 ■ 8/28/25-9/4/25 ■ 9/4/25-9/11/25 ■ 9/11/25-9/18/25 ■ 9/18/25-9/25/25 ■ 9/26/25-10/1/25

Vertical Temperature Profiles from Temperature Probes at Chiquita Landfill for TP-26

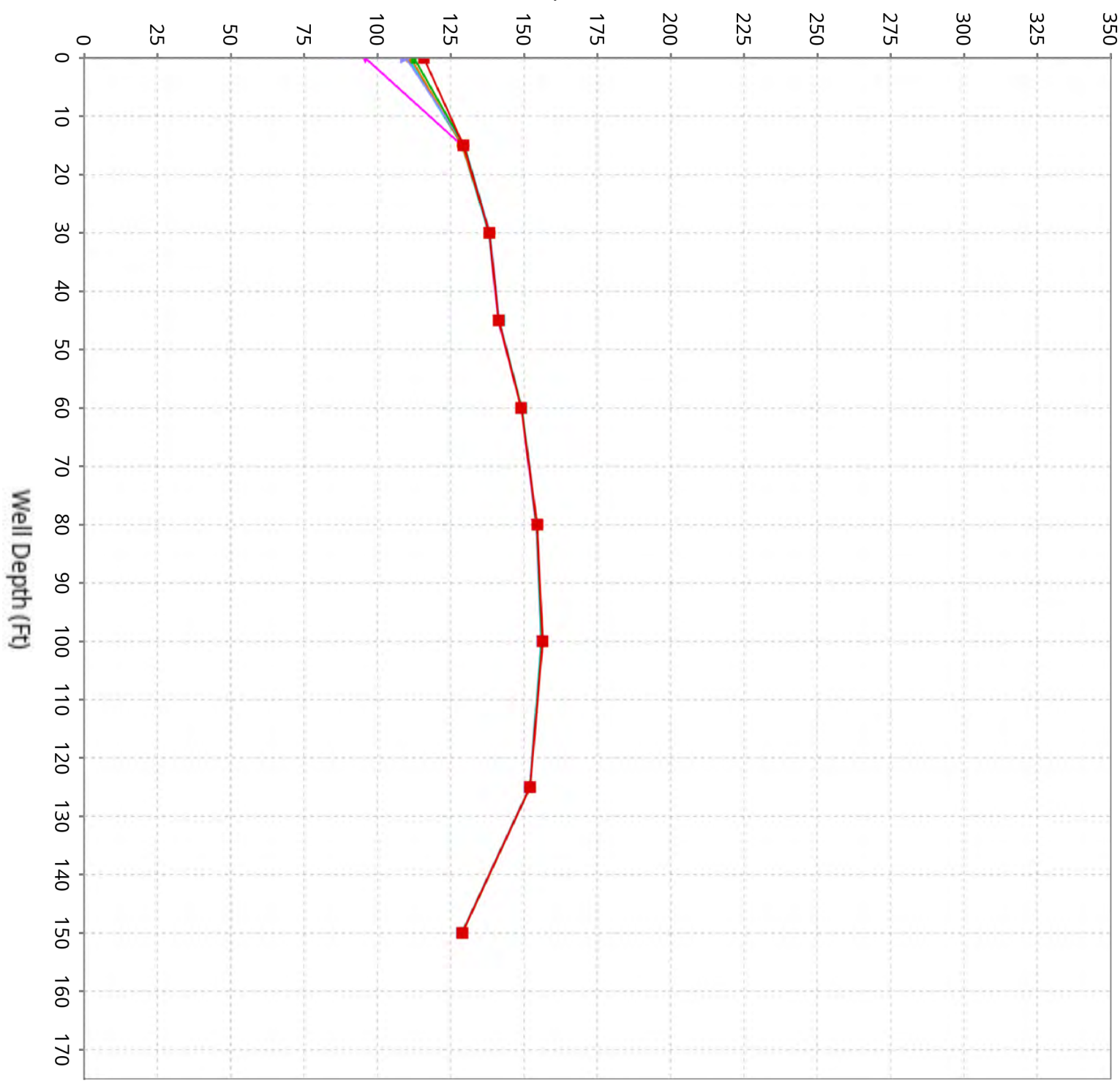
Maximum data for 8/21/2025 to 10/1/2025



Vertical Temperature Profiles from Temperature Probes at Chiquita Landfill for TP-27

Maximum data for 8/21/2025 to 10/1/2025

Temperature (°F)

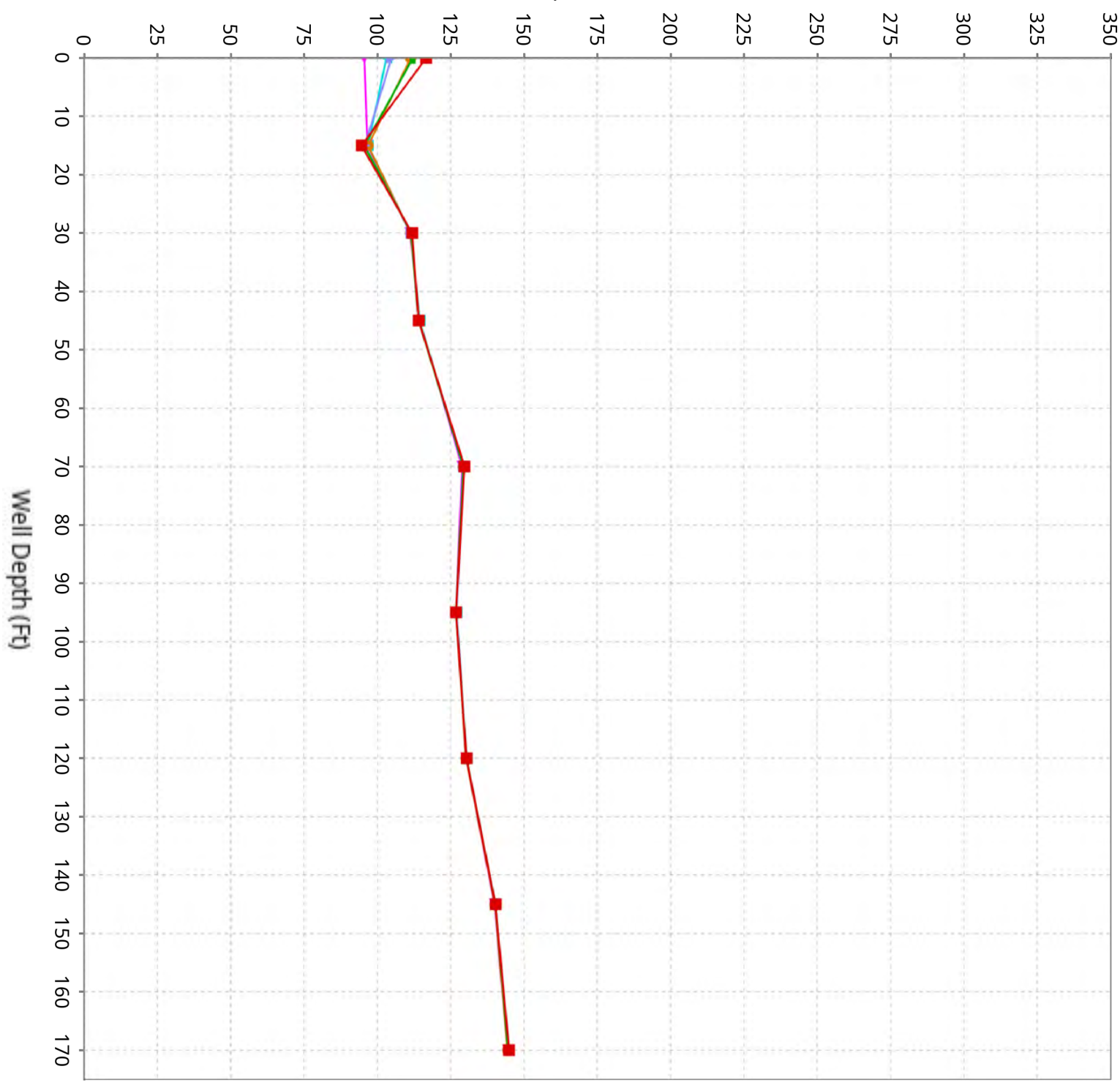


■ 8/21/25-8/28/25 ■ 8/28/25-9/4/25 ■ 9/4/25-9/11/25 ■ 9/11/25-9/18/25 ■ 9/18/25-9/25/25 ■ 9/26/25-10/1/25

Vertical Temperature Profiles from Temperature Probes at Chiquita Landfill for TP-28

Maximum data for 8/21/2025 to 10/1/2025

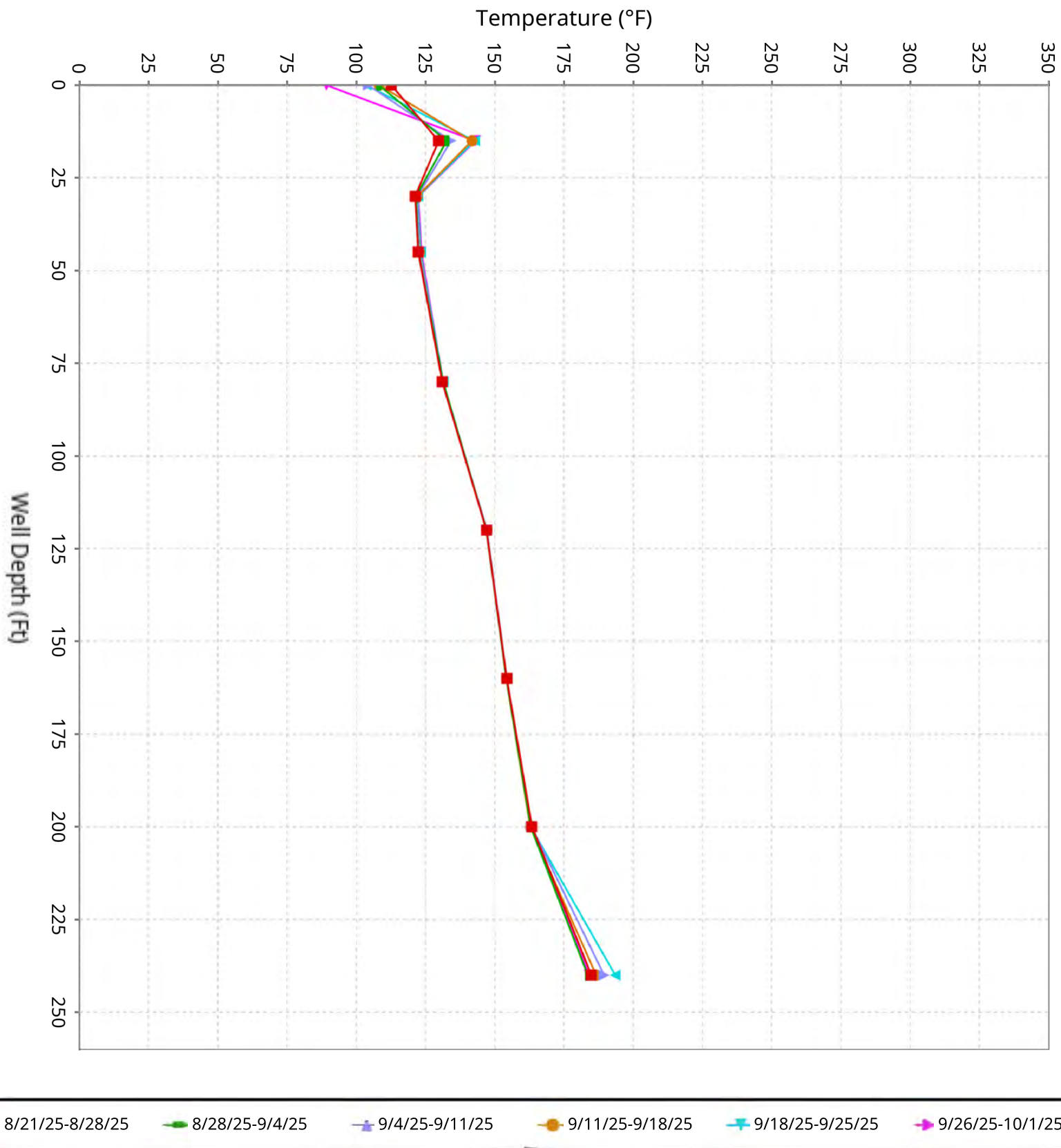
Temperature (°F)



■ 8/21/25-8/28/25 ■ 8/28/25-9/4/25 ■ 9/4/25-9/11/25 ■ 9/11/25-9/18/25 ■ 9/18/25-9/25/25 ■ 9/26/25-10/1/25

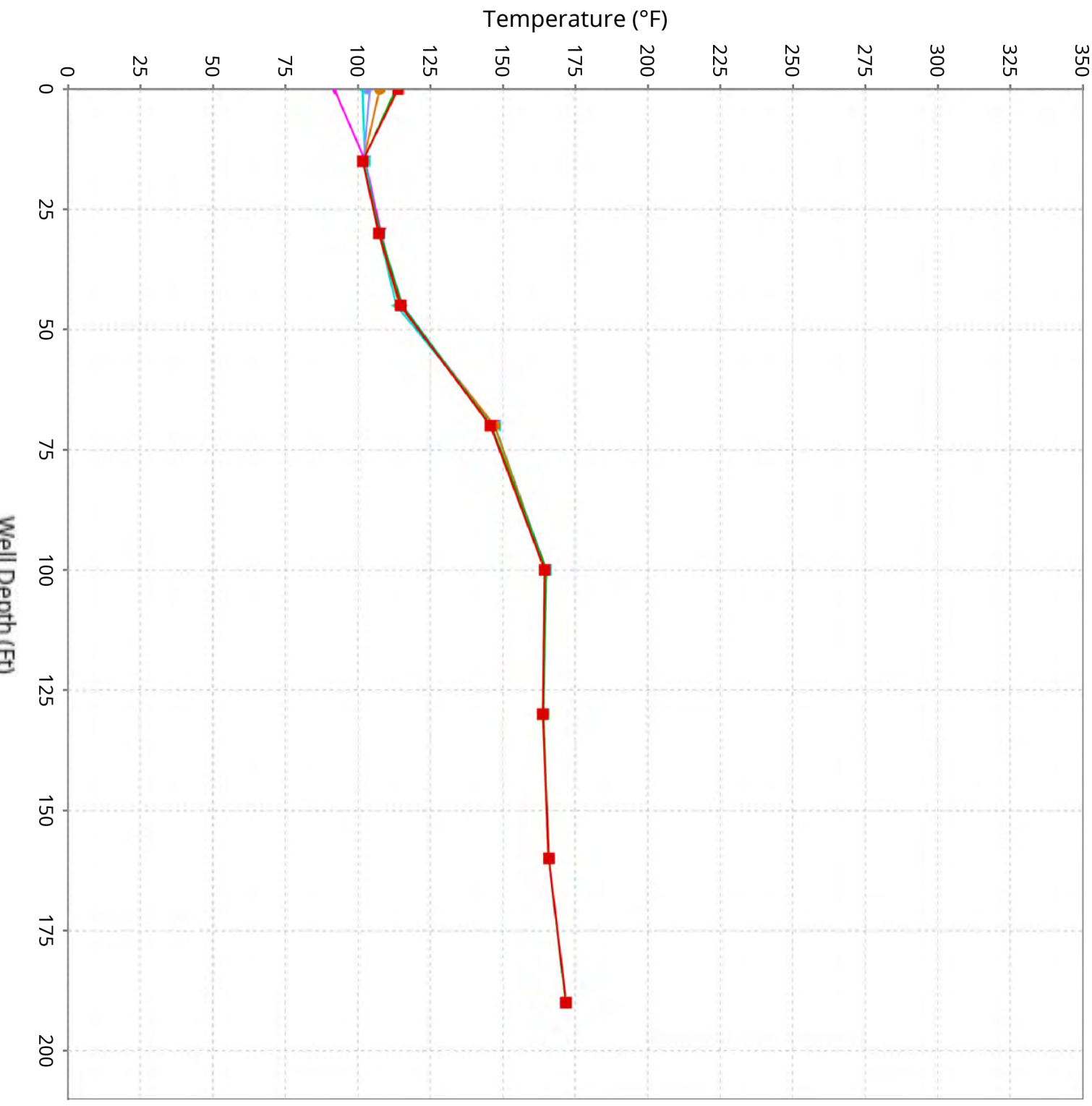
Vertical Temperature Profiles from Temperature Probes at Chiquita Landfill for TP-29

Maximum data for 8/21/2025 to 10/1/2025



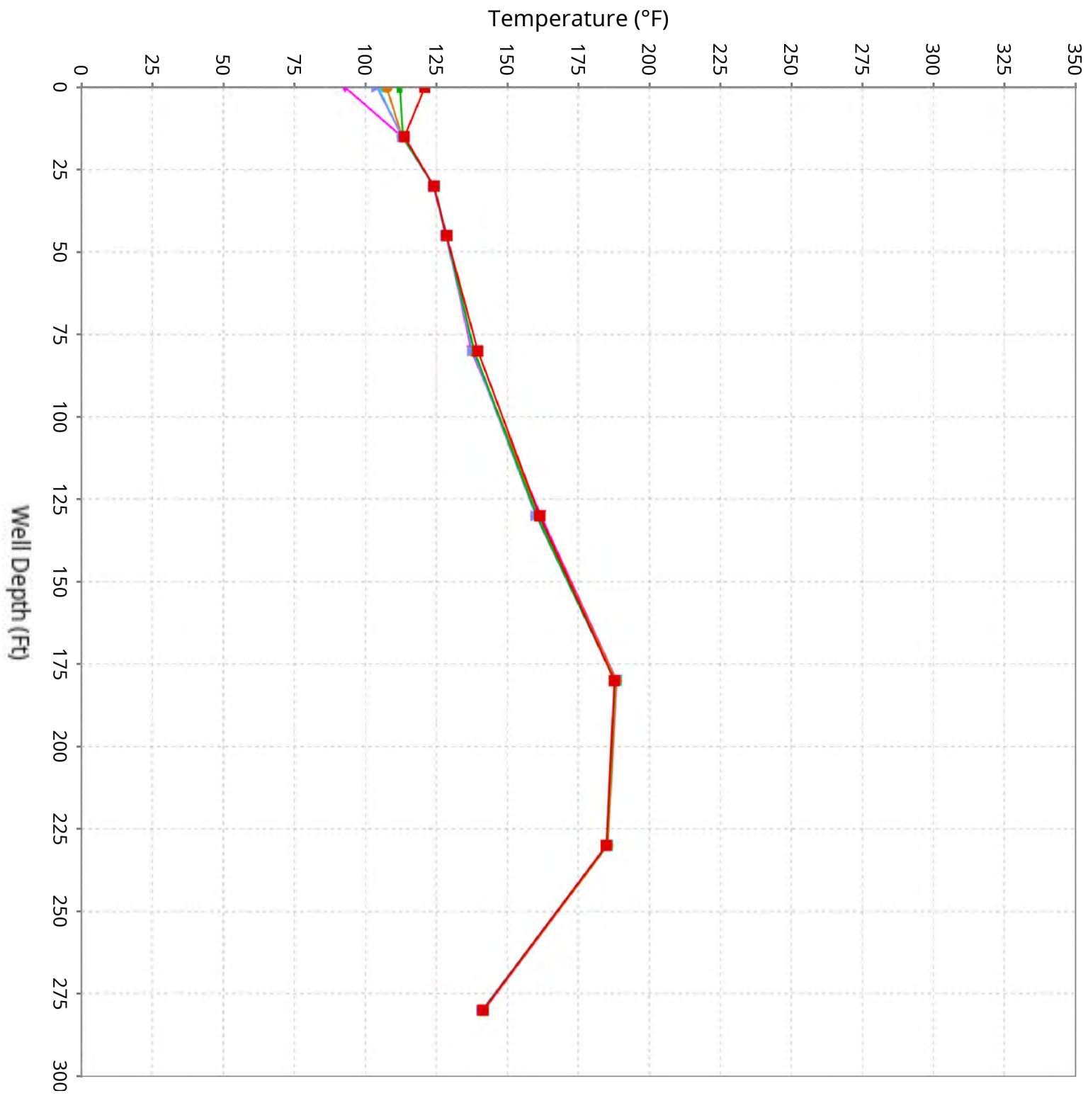
Vertical Temperature Profiles from Temperature Probes at Chiquita Landfill for TP-30

Maximum data for 8/21/2025 to 10/1/2025



Vertical Temperature Profiles from Temperature Probes at Chiquita Landfill for TP-31

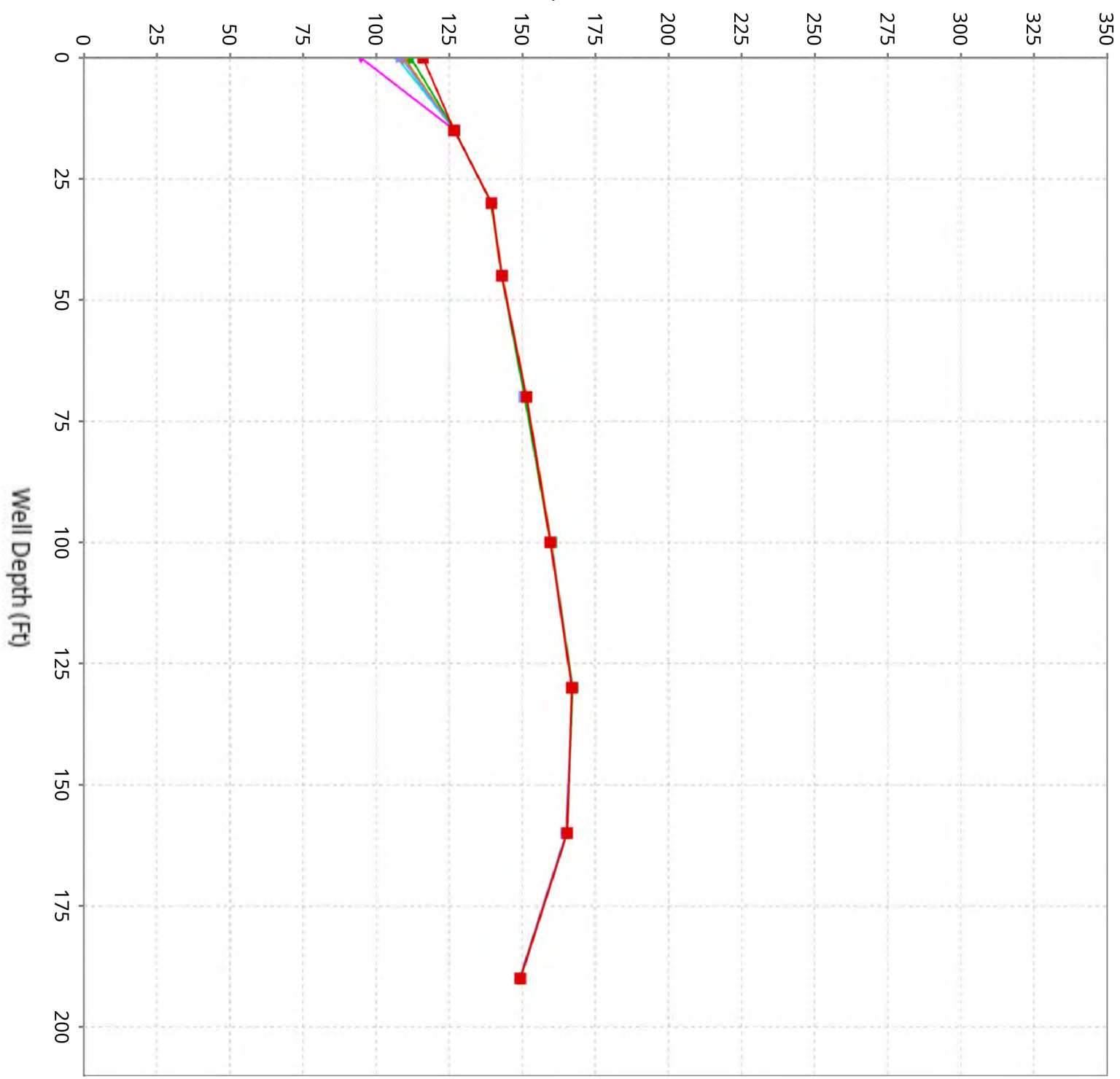
Maximum data for 8/21/2025 to 10/1/2025



Vertical Temperature Profiles from Temperature Probes at Chiquita Landfill for TP-32

Maximum data for 8/21/2025 to 10/1/2025

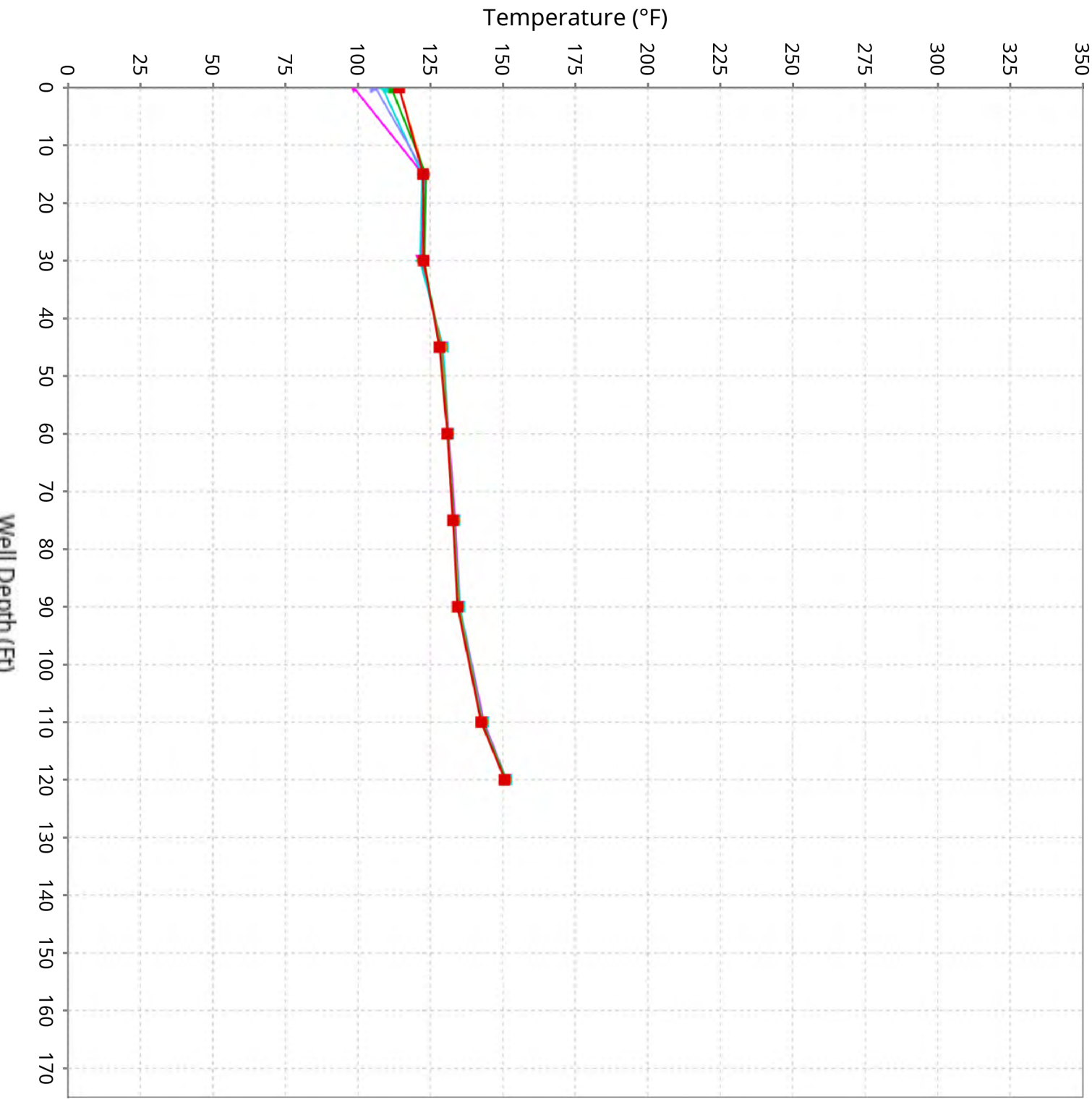
Temperature (°F)



■ 8/21/25-8/28/25 ■ 8/28/25-9/4/25 ■ 9/4/25-9/11/25 ■ 9/11/25-9/18/25 ■ 9/18/25-9/25/25 ■ 9/26/25-10/1/25

Vertical Temperature Profiles from Temperature Probes at Chiquita Landfill for TP-34

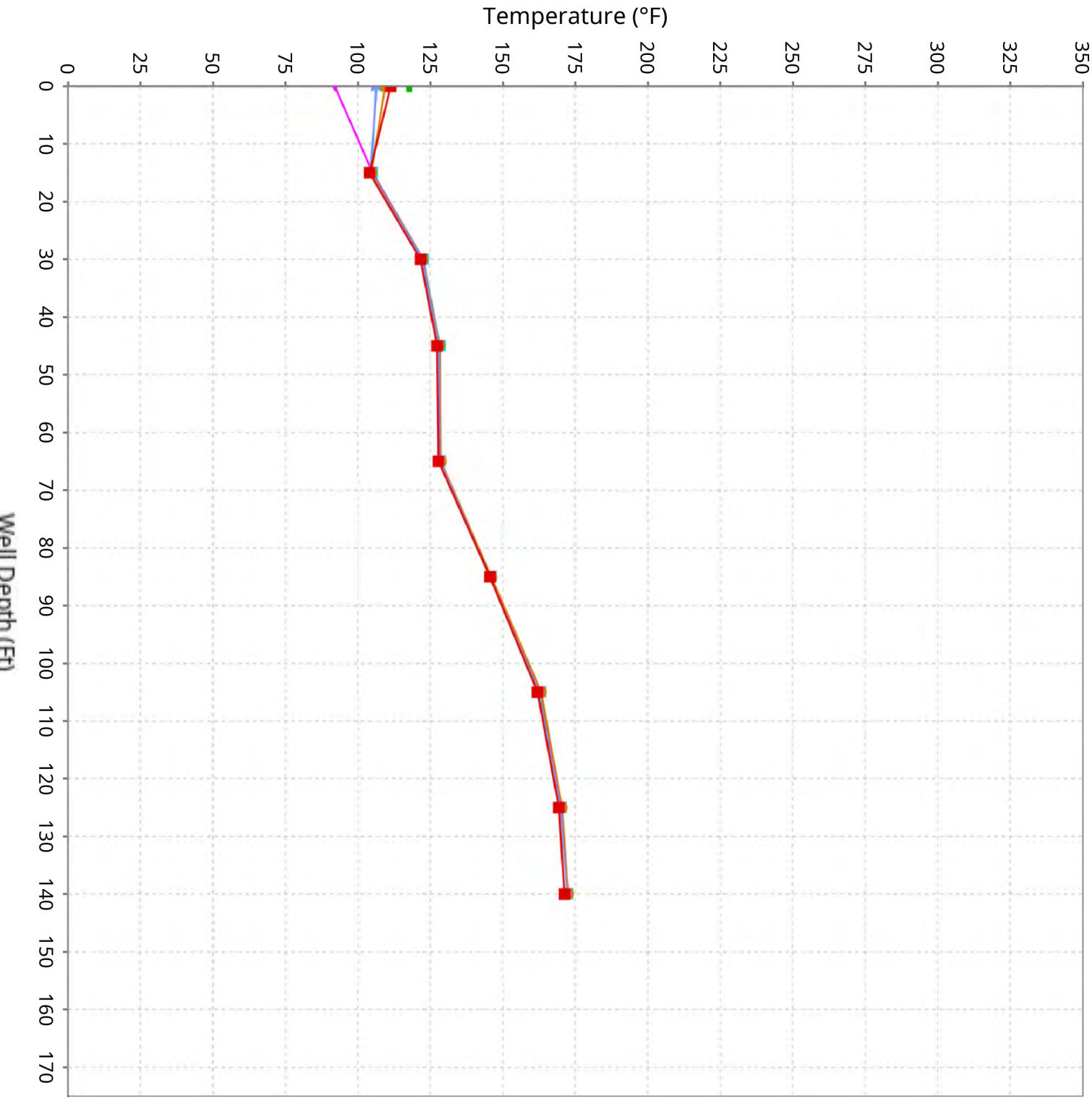
Maximum data for 8/21/2025 to 10/1/2025



■ 8/21/25-8/28/25 ■ 8/28/25-9/4/25 ■ 9/4/25-9/11/25 ■ 9/11/25-9/18/25 ■ 9/18/25-9/25/25 ■ 9/26/25-10/1/25

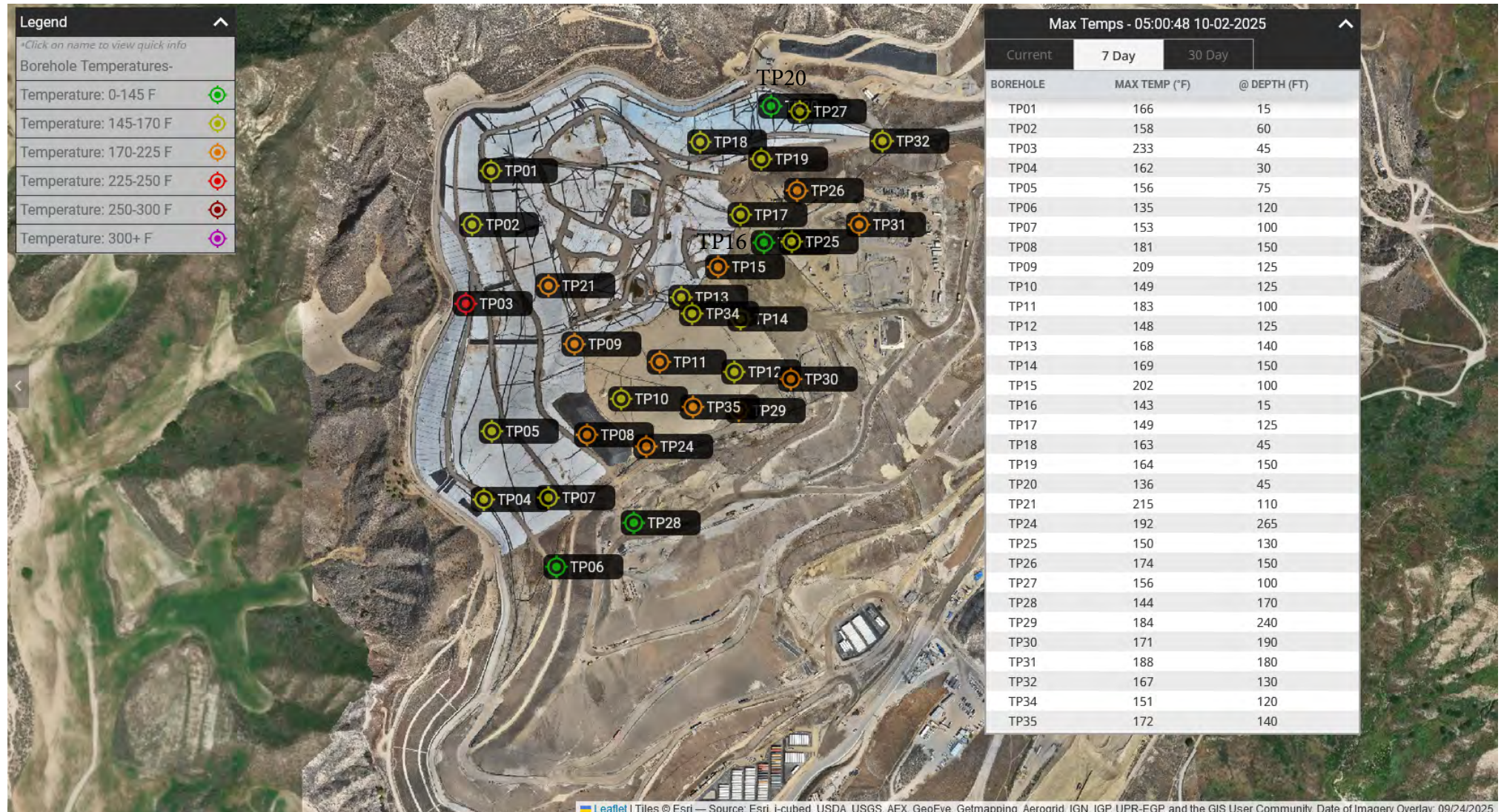
Vertical Temperature Profiles from Temperature Probes at Chiquita Landfill for TP-35

Maximum data for 8/21/2025 to 10/1/2025

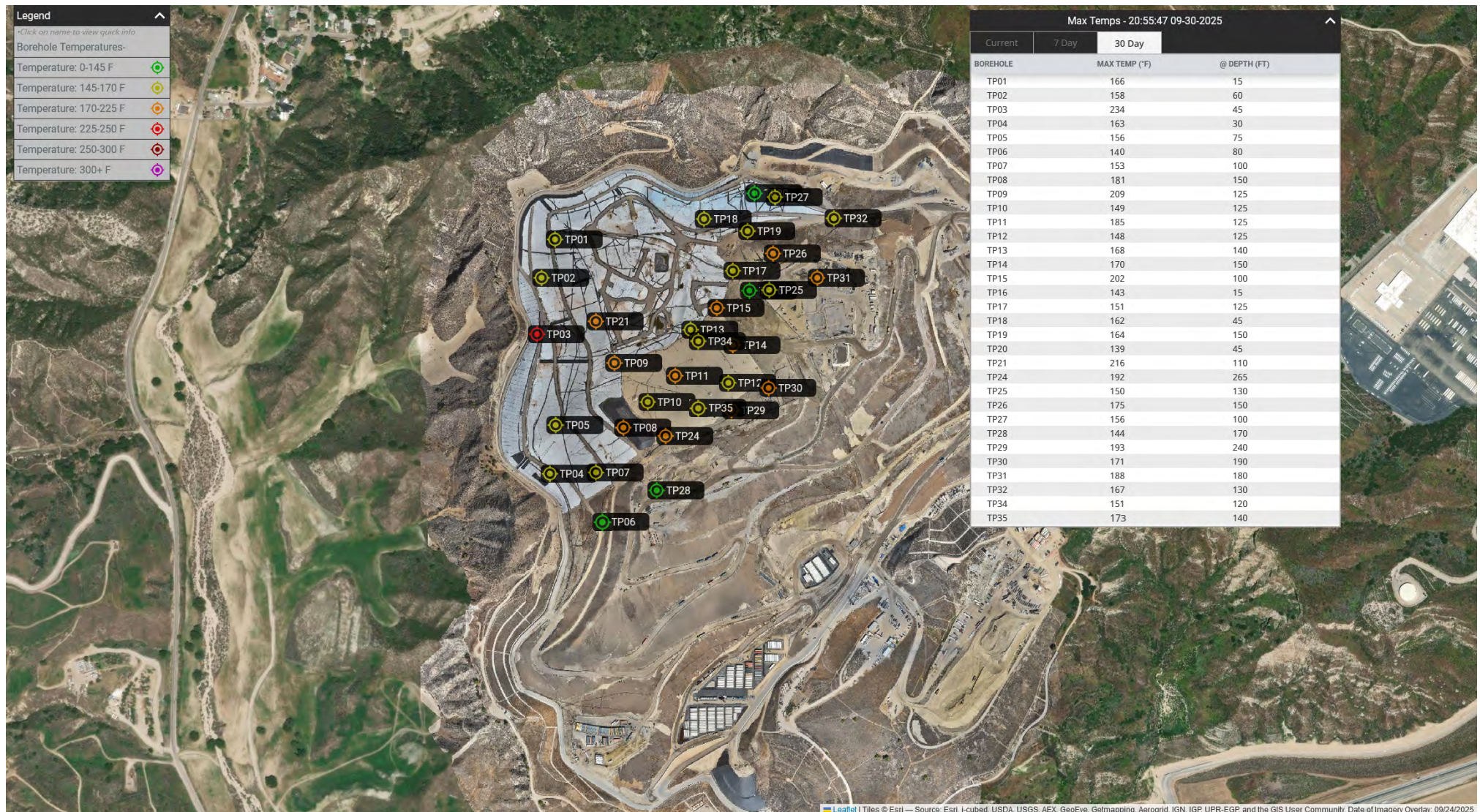


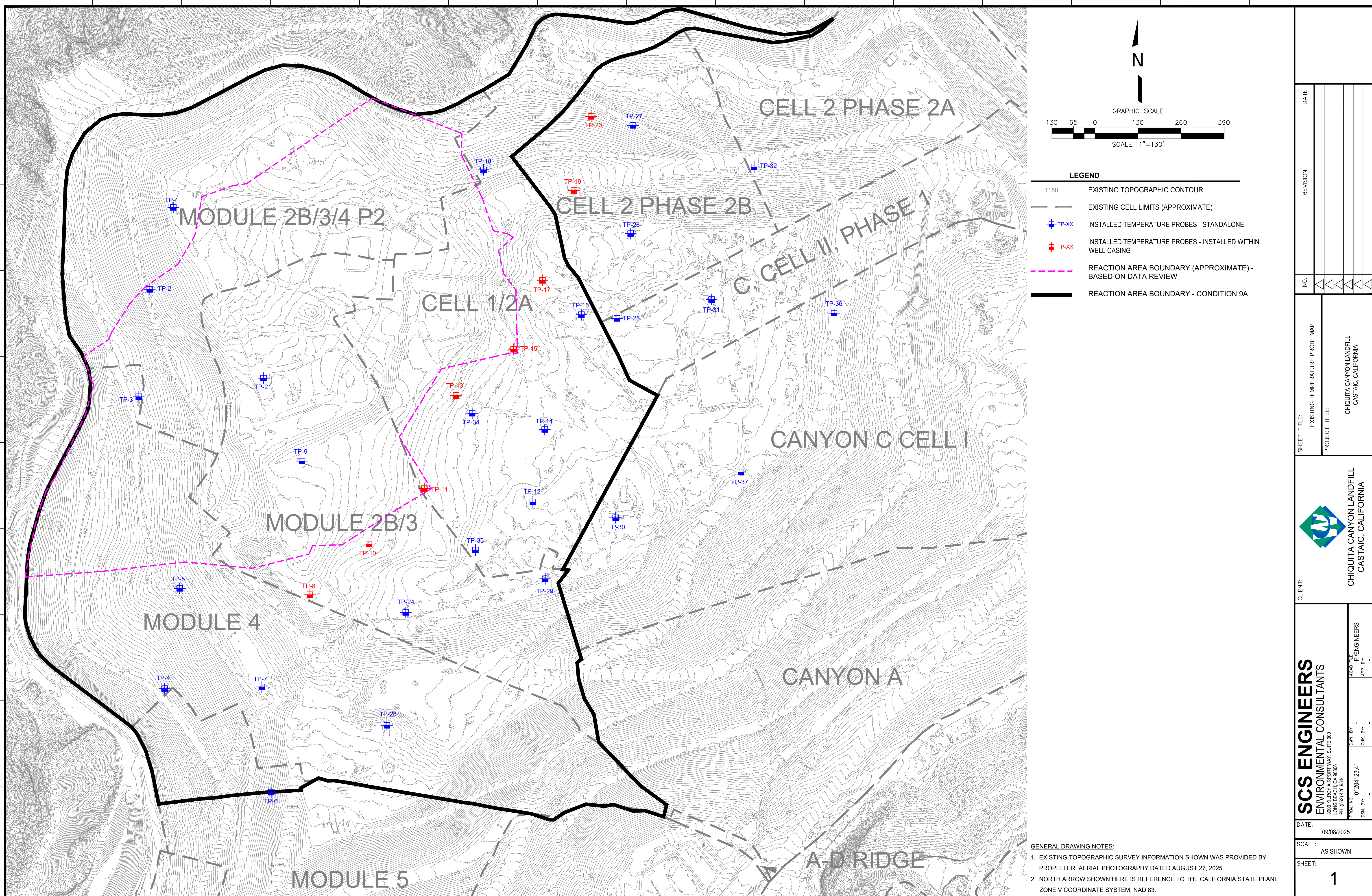
■ 8/21/25-8/28/25 ■ 8/28/25-9/4/25 ■ 9/4/25-9/11/25 ■ 9/11/25-9/18/25 ■ 9/18/25-9/25/25 ■ 9/26/25-10/1/25

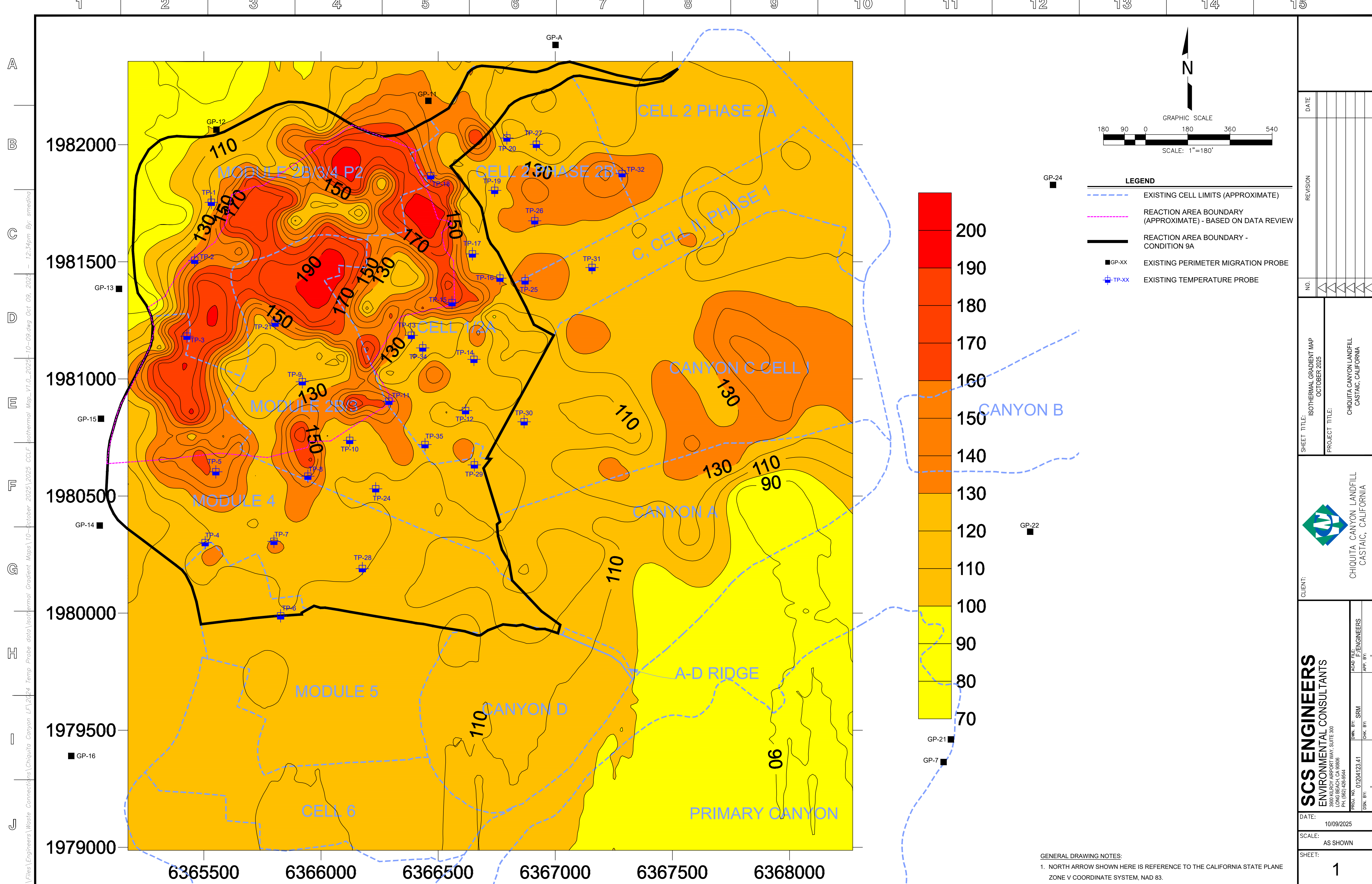
Maximum Vertical Temperature Map from Temperature Probes at Chiquita Landfill

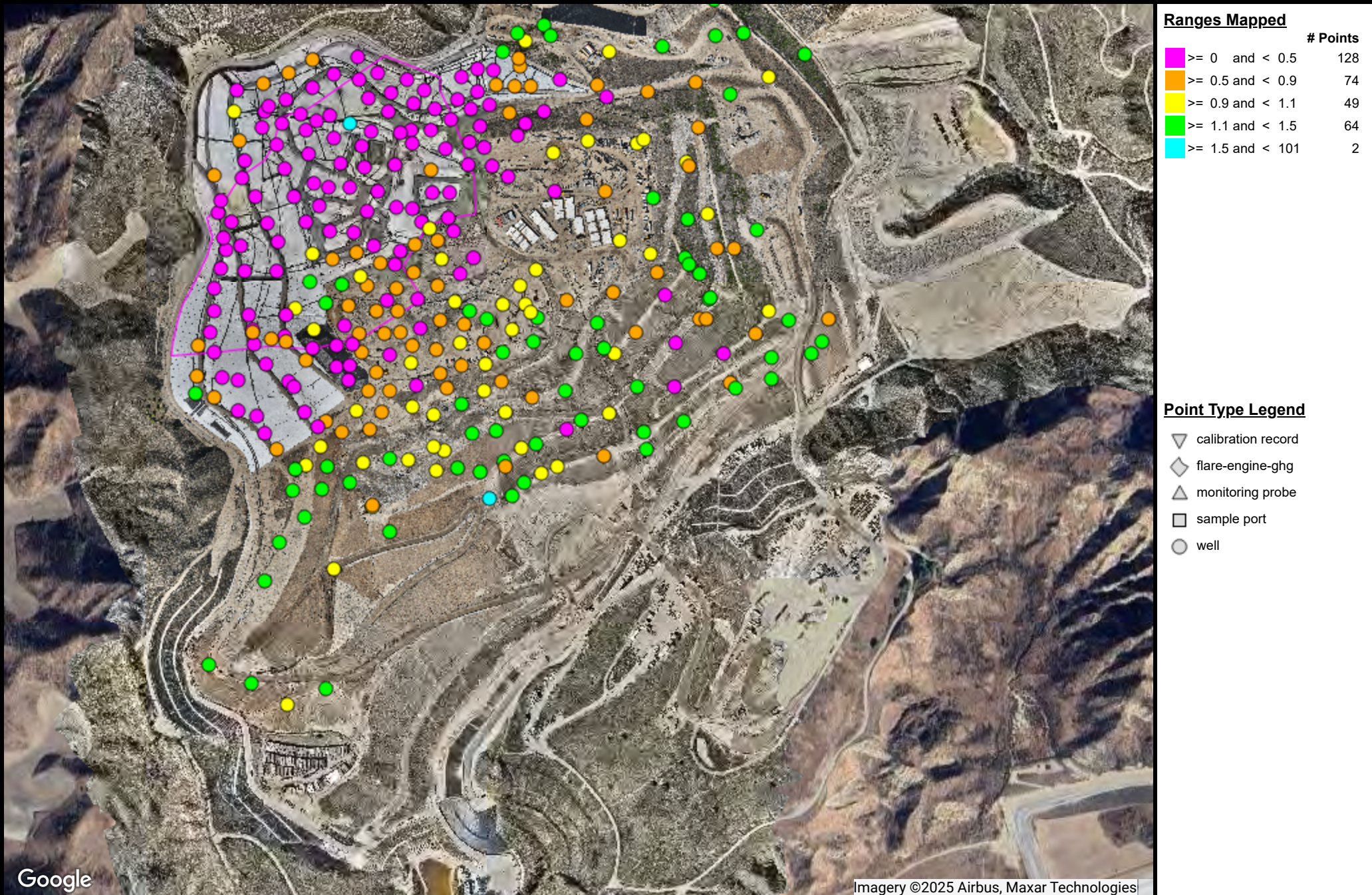


Thirty Day Maximum Vertical Temperature Map from Temperature Probes at the Chiquita Canyon Landfill - September 2025









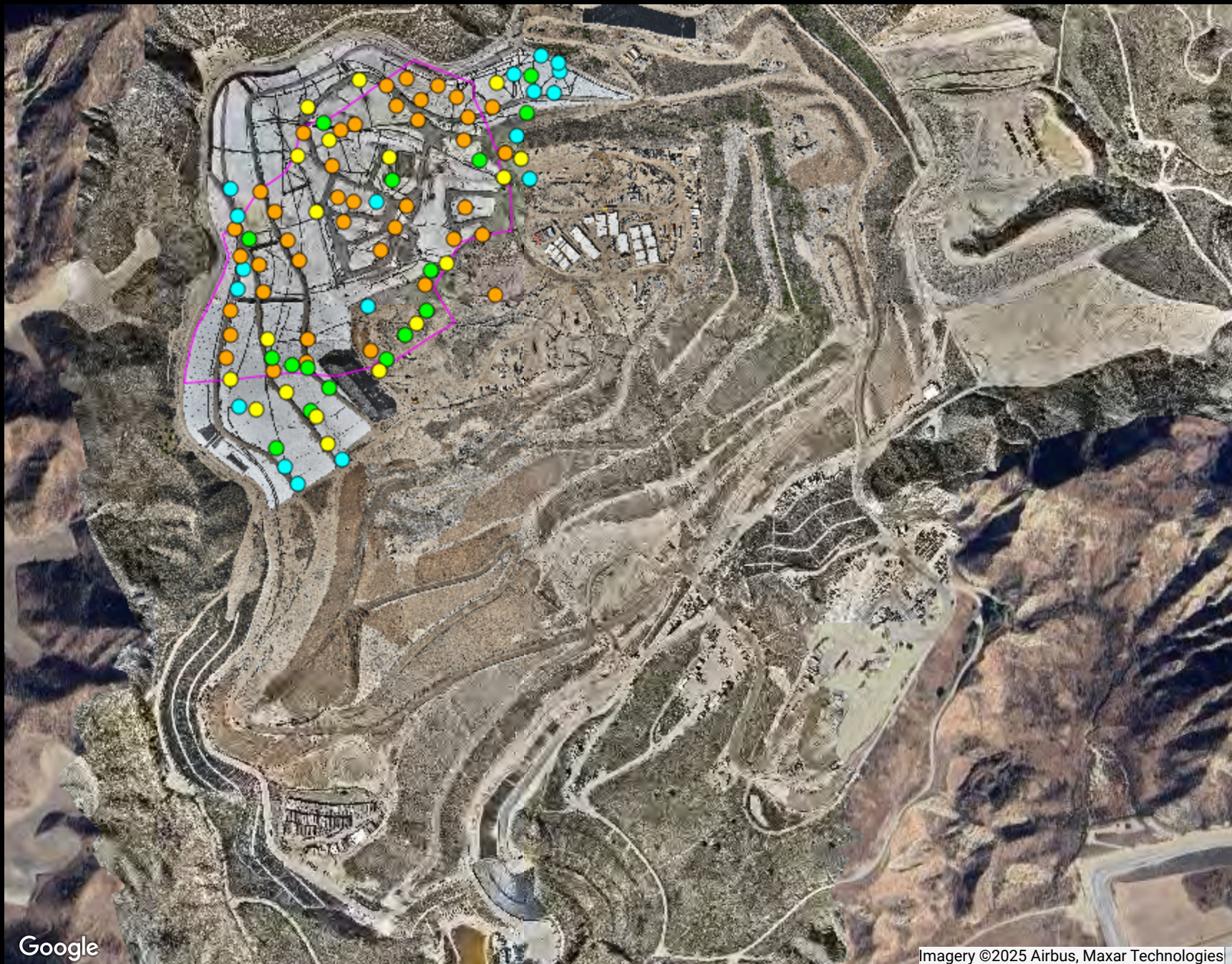
ATTACHMENT D

Chiquita Canyon Landfill
Range Map
Parameter: CH4/CO2 Ratio (high range)
Analysis Method: Average

Date Range: 09/01/2025 - 09/30/2025

Map generation date : 10/09/2025





Google

Imagery ©2025 Airbus, Maxar Technologies

ATTACHMENT E

Chiquita Canyon Landfill

Range Map

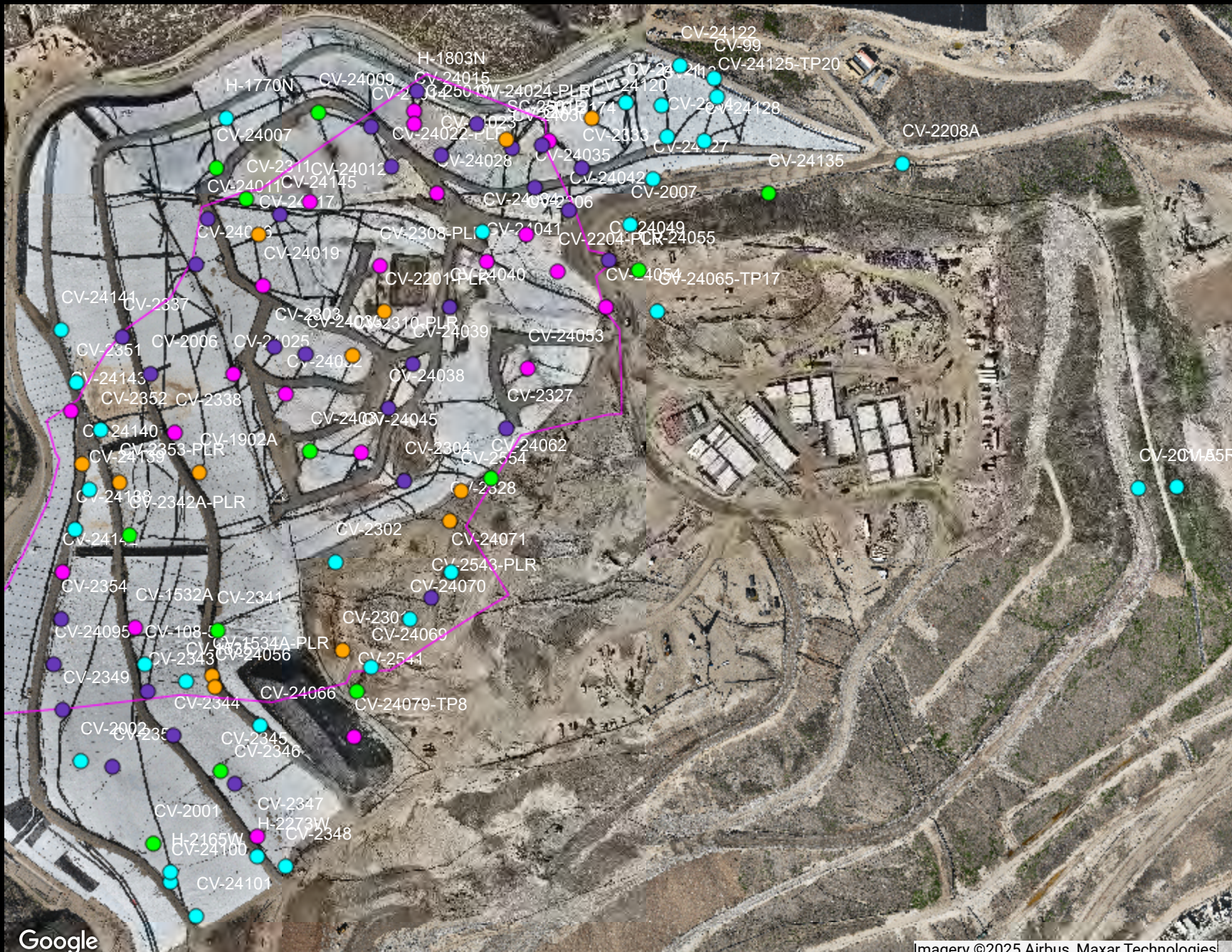
Parameter: H2 (mid range)

Analysis Method: Average

Date Range: 09/01/2025 - 09/30/2025

Map generation date : 10/09/2025





ATTACHMENT F

Chiquita Canyon Landfill

Range Map

Parameter: CO (mid range)

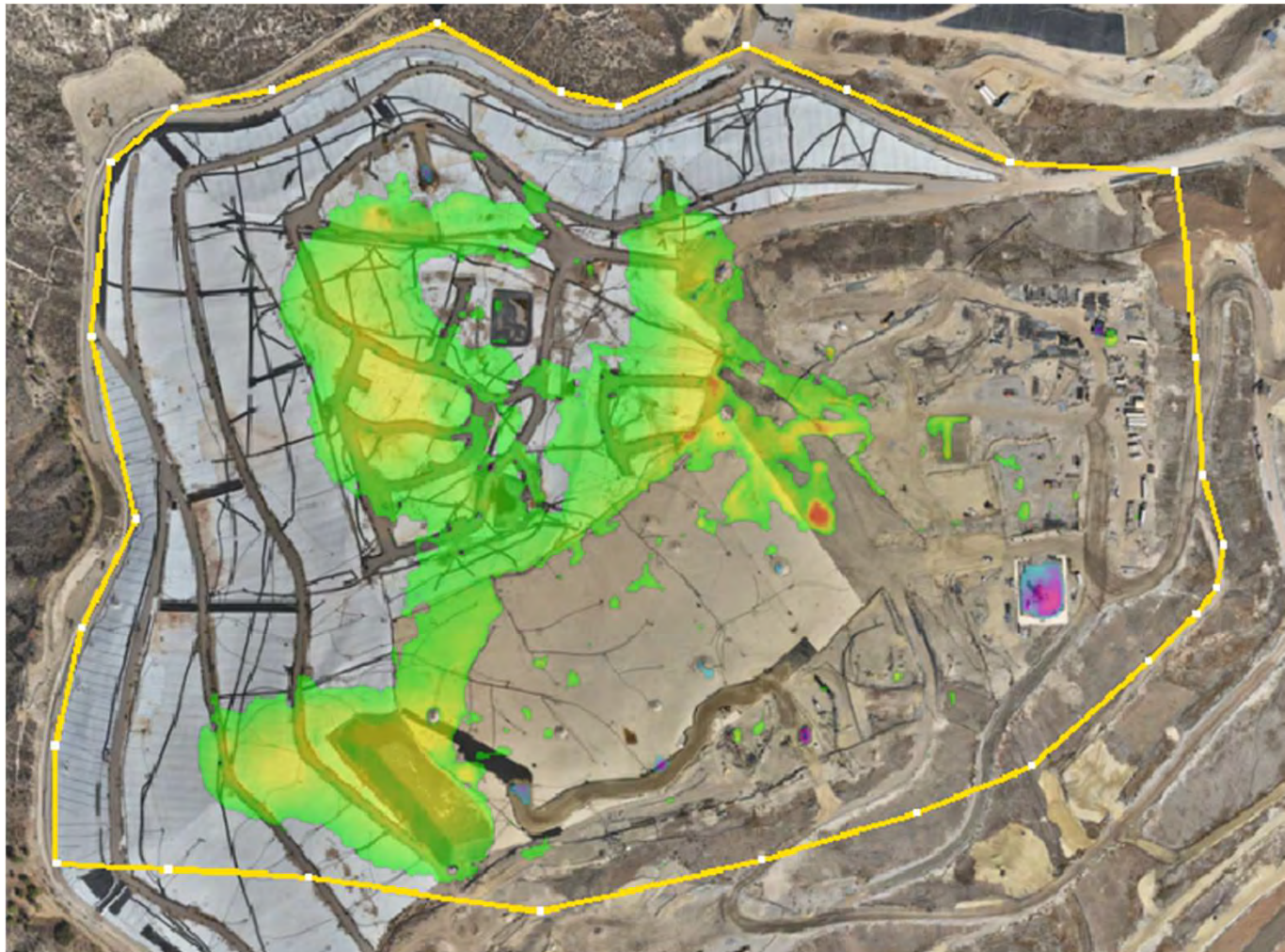
Analysis Method: Average

Date Range: 09/01/2025 - 09/30/2025

Map generation date : 10/10/2025



Chiquita Canyon Landfill - Quarterly Isopach



October 1, 2025 Survey Image. July 2, 2025 vs. October 1, 2025